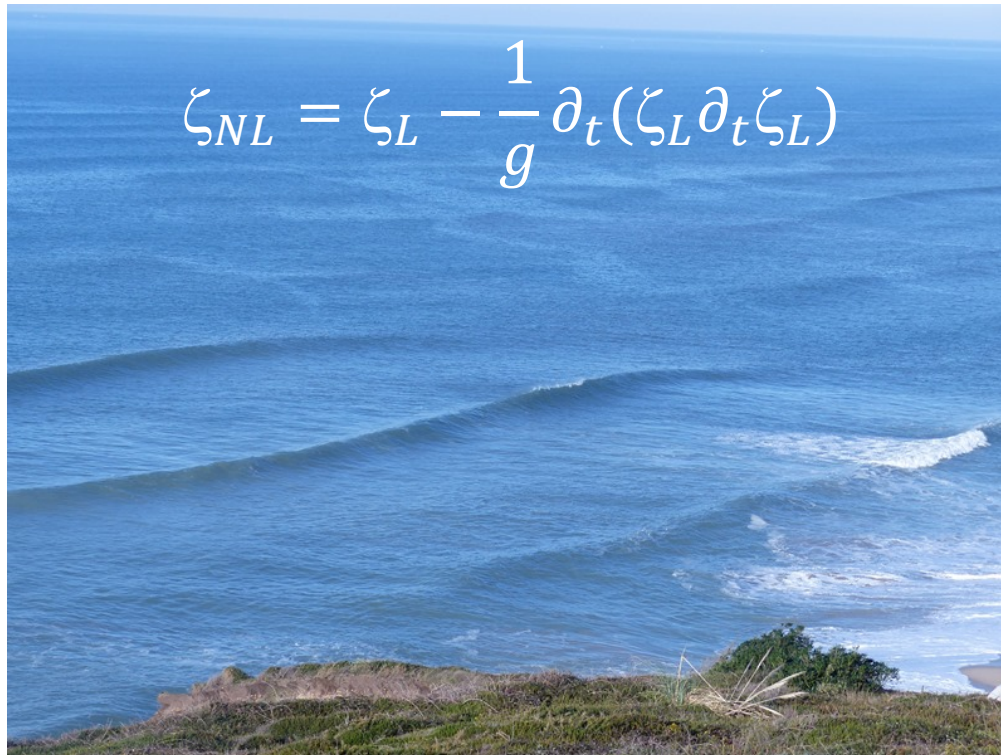


Reconstruction du champ de vagues à partir de la mesure de la pression près du fond



Philippe Bonneton (EPOC) et David Lannes (IMB)



Cadre général :

Les vagues jouent un rôle moteur dans la dynamique littorale

→ caractérisation par mesure in situ



Introduction

- circulation induite par les vagues



- transport sédimentaire et érosion



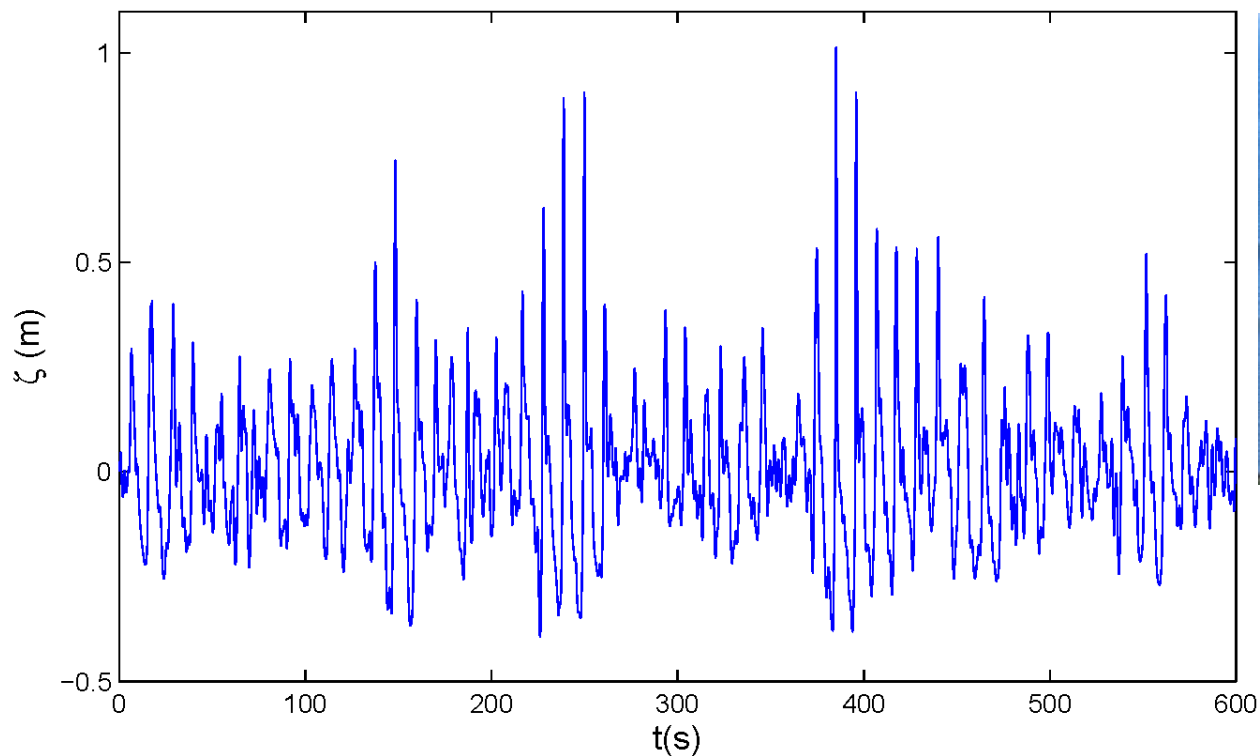
- impact sur les ouvrages côtiers
- franchissement et submersion



- sécurité de la navigation
et des baignades
- opérations militaires

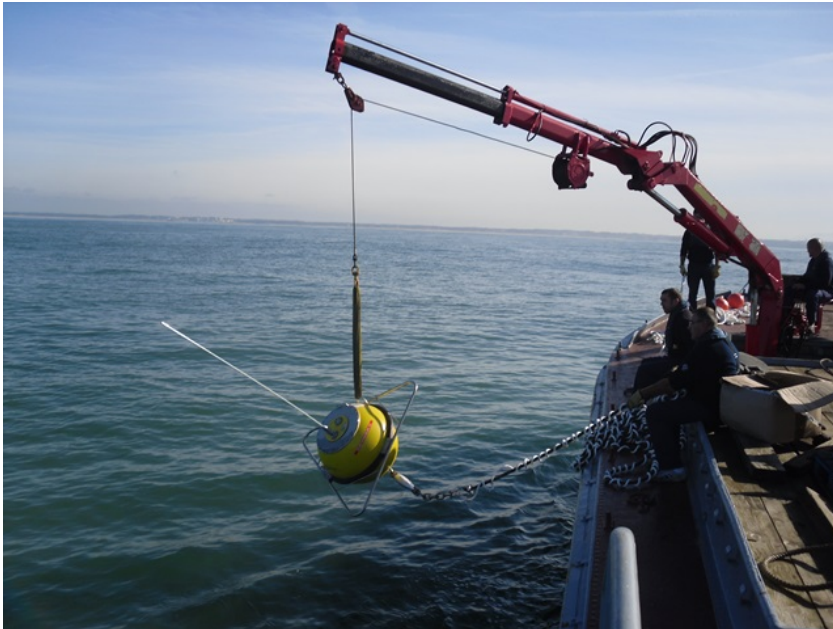
⇒ **mesures précises des vagues**

Depuis la seconde guerre mondiale (Sverdrup and Munk, 1947, Scripps)
développement de nombreuses méthodes pour la mesure in situ
de la **surface libre des vagues ζ**



Houlographe – bouée côtière

ex.: bouées du Cap Ferret (EPOC) et d'Anglet (SIAME) – réseau CANDHIS



mesures à partir
d'accéléromètres

élastomère

Bouée Datawell

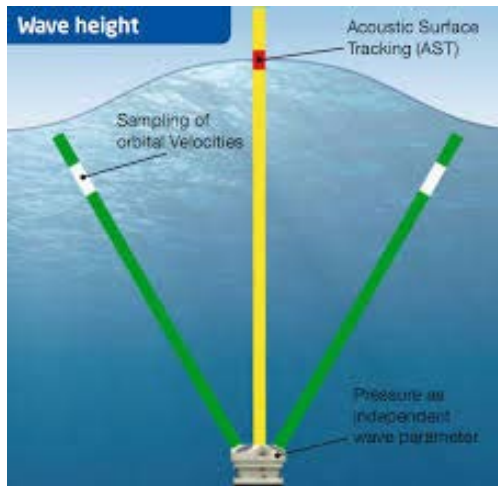
- ❑ avantages : assez robuste (tempêtes), transmission temps réel
- ❑ inconvénients : coûts (achat, déploiement, entretien), écrête les vagues

Méthodes récentes

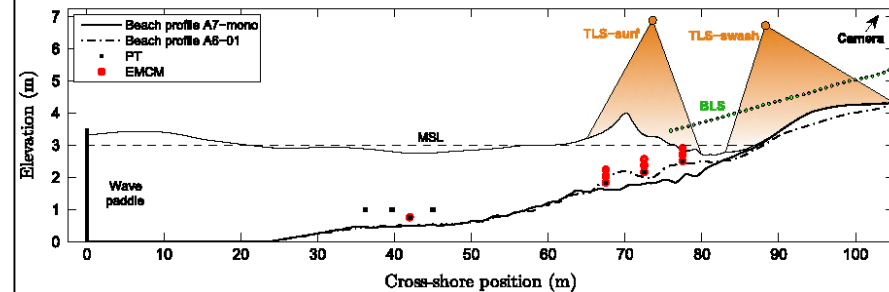
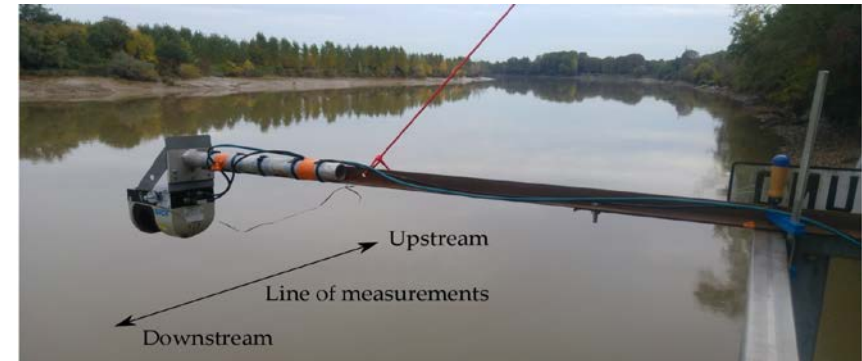
Méthode acoustique



ADCP Signature 1000



Lidar



Martins et al. 2017

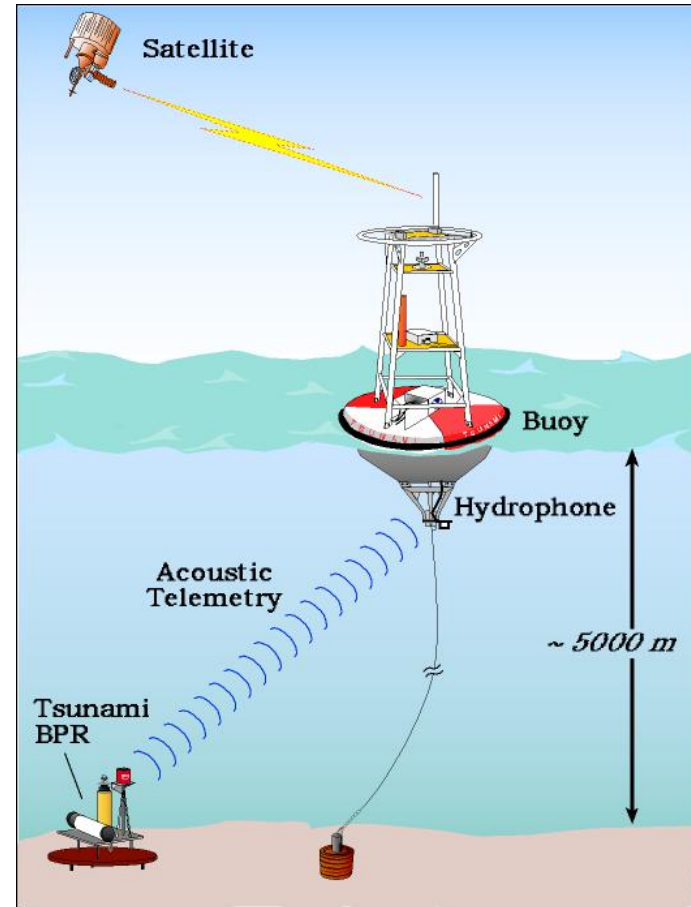
- ❑ avantages : précision de la mesure
- ❑ inconvénients : cher, fragile, déploiement difficile, faible autonomie

outils pour la recherche :
difficile à utiliser pour des
mesures à long terme

Capteur de pression



Ocean Sensor Systems
(capteur autonome)



Deep Ocean Assessment of *Tsunami* (DART)
(transmission des données)

Capteur de pression



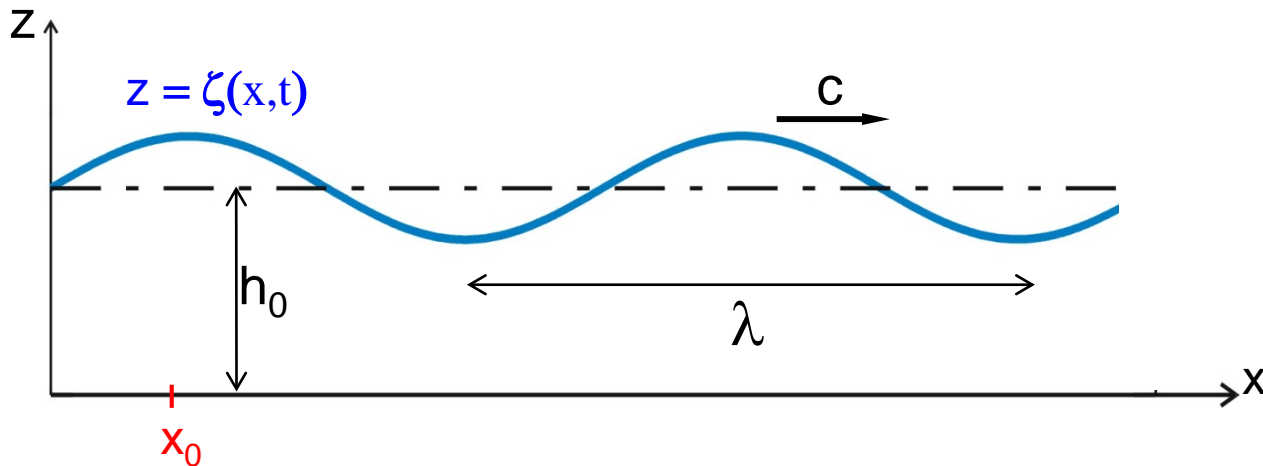
Ocean Sensor Systems
(capteur autonome)



Hurricane Gustav, *Kennedy et al. 2010*

- ❑ avantages : bon marché, robuste (tempête, chalutage, ...)
déploiement facile, grande autonomie
- ❑ inconvénients : mesure indirecte de ζ

→ reconstruction de la surface libre ζ à partir de la pression P_b

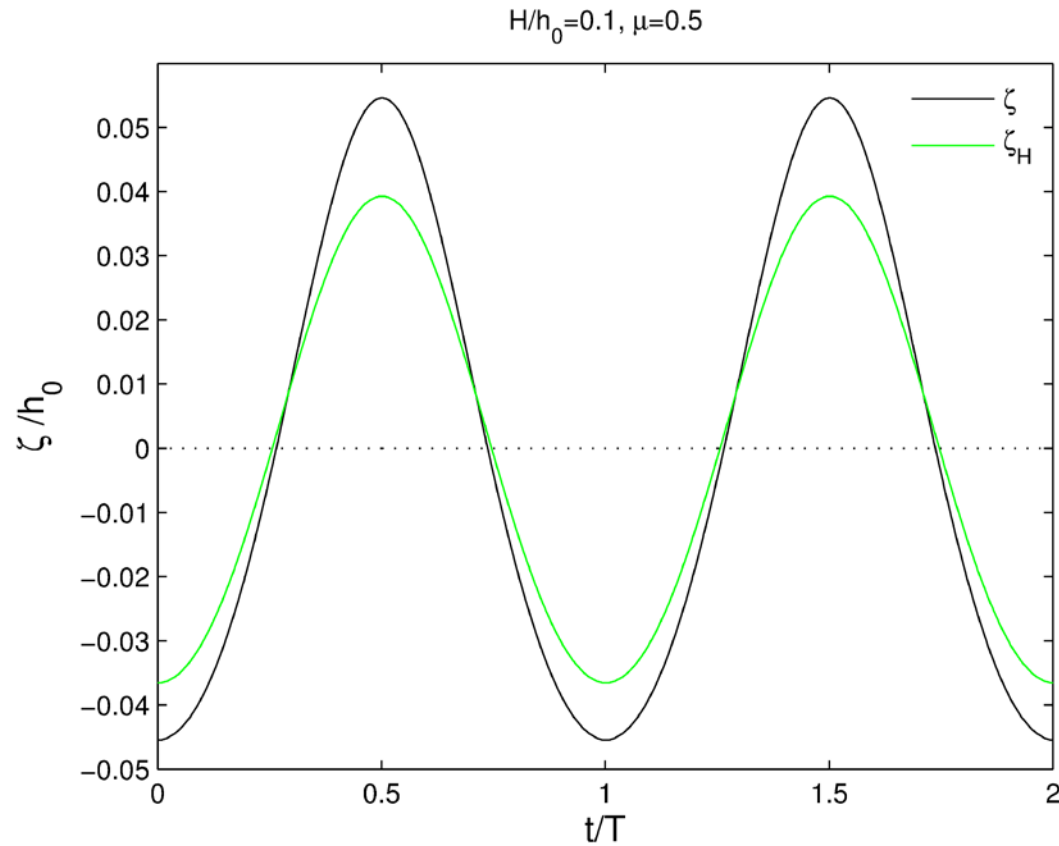


$$P_b(x_0, t) \rightarrow \zeta(x_0, t)$$

Ondes longues (tsunamis, marées, ...) \rightarrow hypothèse hydrostatique

$$\frac{\partial P}{\partial z} = -\rho_0 g \quad \Rightarrow \quad h_H(x_0, t) = \frac{P_b - P_a}{\rho_0 g} \quad \Rightarrow \quad \zeta_H = \frac{P_b - P_a}{\rho_0 g} - h_0$$

Houle et mer du vent



→ reconstruction non-hydrostatique de ζ

reconstruction non-hydrostatique pour les vagues (houle et mer du vent)

Approche utilisée en océanographie côtière :

→ théorie linéaire non-hydrostatique

*Folsom (1947), Seiwell (1947), Hom-ma et al. (1966), Cavaleri et al. (1978),
Guza et Thornton (1980), ... Karimpour et Chen (2017)*

reproduit correctement les caractéristiques moyennes des vagues mais décrit mal la forme et l'élévation max des vagues non-linéaires



→ jusqu'à 30% d'erreur sur la hauteur des vagues

Martins et al. 2017 et Bonneton et al. 2018

reconstruction non-hydrostatique pour les vagues (houle et mer du vent)

Approche utilisée en océanographie côtière :

→ théorie linéaire non-hydrostatique

Folsom (1947), Seiwel (1947), Hom-ma et al. (1966), Cavaleri et al. (1978),

Guza et Thornton (1980), ... Karimpour et Chen (2017)

toujours utilisée pour l'opérationnel et la recherche

reproduit correctement les caractéristiques moyennes des vagues mais décrit mal la forme et l'élévation max des vagues non-linéaires



→ reconstruction non-hydrostatique non-linéaire de ζ

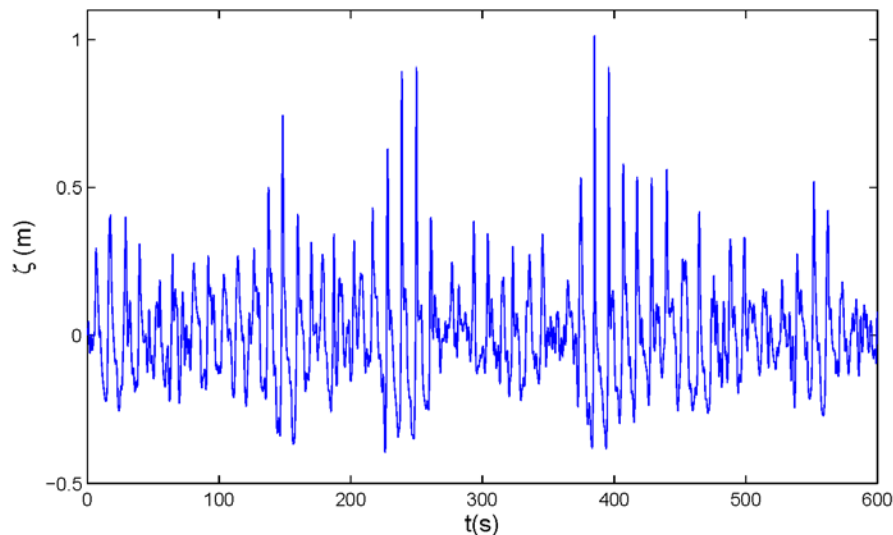
reconstruction non-hydrostatique non-linéaire de ζ

Plusieurs approches théoriques récentes

vagues unidirectionnelles de forme permanente : soliton ou houle périodique

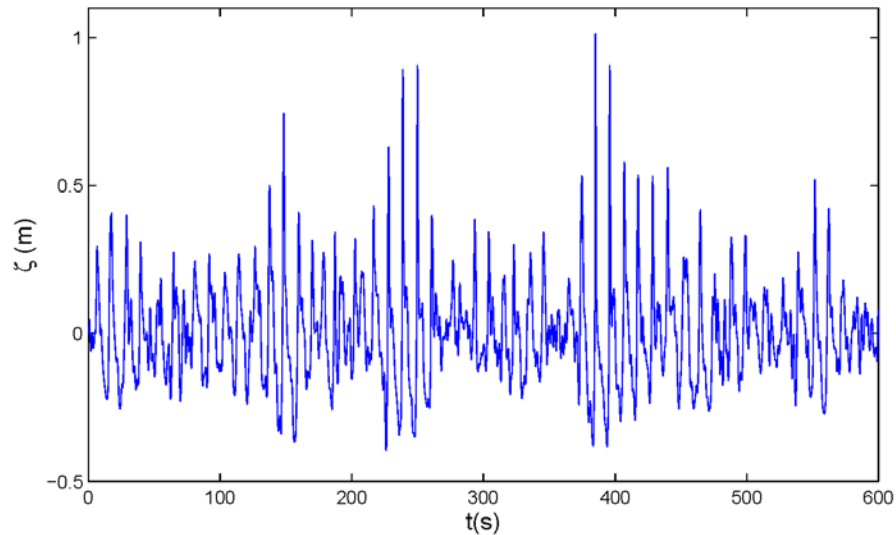
*Deconink et al. (2012), Oliveras et al. (2012), Constantin (2012),
Clamond (2013)*

⇒ **études à caractère fondamental pas applicables
aux vagues réelles en milieu naturel**

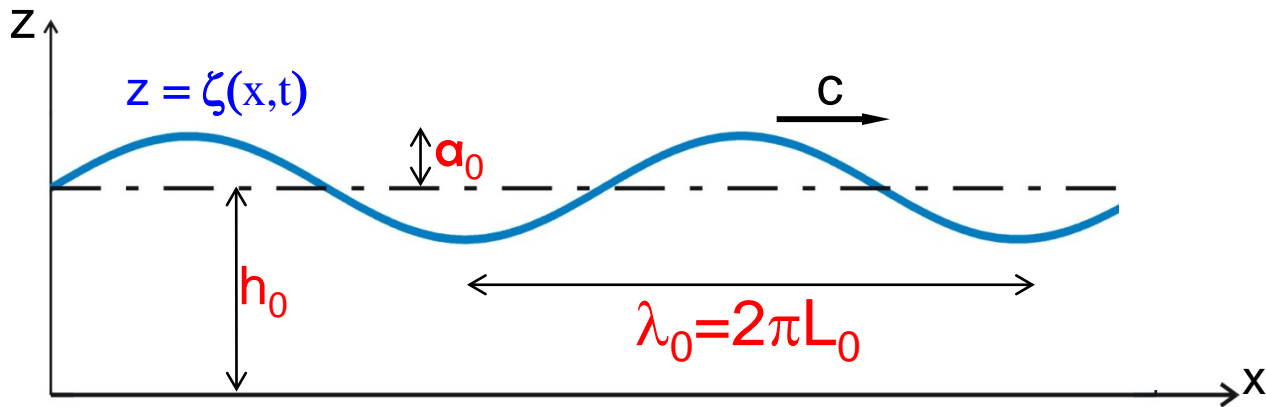


reconstruction non-hydrostatique non-linéaire de ζ

Développement d'un approche non-linéaire applicable aux vagues irrégulières observées en milieu océanique



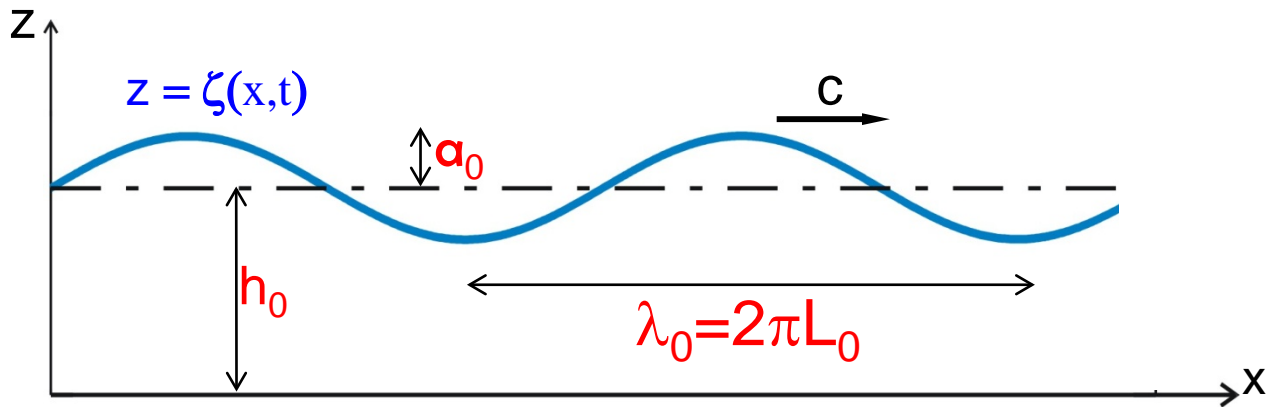
Position du problème et équations



$$\varepsilon = \frac{a_0}{h_0} \quad \mu = \left(\frac{h_0}{L_0}\right)^2$$

$$\sigma = \frac{a_0}{L_0} = \varepsilon\sqrt{\mu}$$

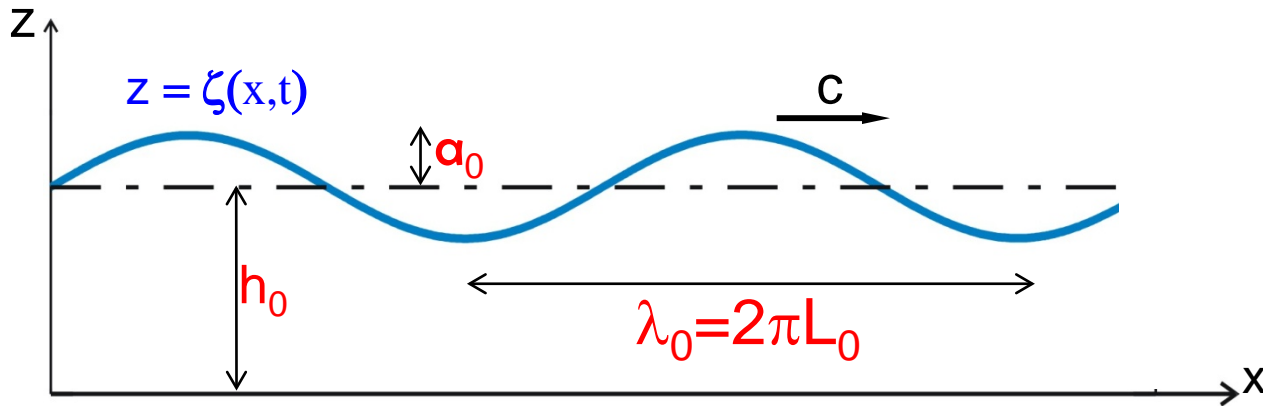
Position du problème et équations



$$\varepsilon = \frac{a_0}{h_0} \ll 1$$

$$\mu = \left(\frac{h_0}{L_0}\right)^2$$

$$\frac{\zeta_H}{a_0} \sim \frac{1}{\cosh(\sqrt{\mu}k)}$$



$$\varepsilon = \frac{a_0}{h_0} \lesssim 1 \quad \mu = \left(\frac{h_0}{L_0}\right)^2 \lesssim 1$$

$$\sigma = \frac{a_0}{L_0} = \varepsilon\sqrt{\mu} \ll 1$$

développements asymptotiques →

$$\zeta(x, t) \quad \text{fonction de} \quad \zeta_H = \frac{P_b(x, t) - P_a}{\rho_0 g} - h_0$$

$$\begin{aligned} \frac{\partial u}{\partial x} + \frac{\partial w}{\partial z} &= 0 \\ \frac{\partial u}{\partial t} + u \frac{\partial u}{\partial x} + w \frac{\partial u}{\partial z} &= -\frac{1}{\rho_0} \frac{\partial P}{\partial x} & z \in [-h_0, \zeta(x, t)] \\ \frac{\partial w}{\partial t} + u \frac{\partial w}{\partial x} + w \frac{\partial w}{\partial z} &= -\frac{1}{\rho_0} \frac{\partial P}{\partial z} - g \\ P &= P_a & z = \zeta(x, t) \\ \frac{\partial \zeta}{\partial t} + u \frac{\partial \zeta}{\partial x} &= w & z = \zeta(x, t) \\ w &= 0 & z = -h_0 \end{aligned}$$

$$\frac{\partial^2 \Phi}{\partial x^2} + \frac{\partial^2 \Phi}{\partial z^2} = 0 \quad z \in [-h_0, \zeta(x, t)]$$

$$\frac{\partial \Phi}{\partial t} + \frac{1}{2} \left(\left(\frac{\partial \Phi}{\partial x} \right)^2 + \left(\frac{\partial \Phi}{\partial z} \right)^2 \right) + g\zeta = 0 \quad z = \zeta(x, t)$$

$$\frac{\partial \zeta}{\partial t} + \frac{\partial \Phi}{\partial x} \frac{\partial \zeta}{\partial x} = \frac{\partial \Phi}{\partial z} \quad z = \zeta(x, t)$$

$$\frac{\partial \Phi}{\partial z} = 0 \quad z = -h_0$$

$$P(x, z, t) = P_a - \rho_0 g z - \rho_0 \left(\frac{\partial \Phi}{\partial t} + \frac{1}{2} \left(\left(\frac{\partial \Phi}{\partial x} \right)^2 + \left(\frac{\partial \Phi}{\partial z} \right)^2 \right) \right)$$

$$\zeta_H = \frac{P_b - P_a}{\rho_0 g} - h_0 = -\frac{1}{g} \left(\frac{\partial \Phi}{\partial t} + \frac{1}{2} \left(\frac{\partial \Phi}{\partial x} \right)^2 \right) \Big|_{z=-h_0}$$

Adimensionnement des équations

$$x' = \frac{x}{L}, \quad z' = \frac{z}{h_0}, \quad t' = \frac{\sqrt{gh_0}}{L} t, \quad \zeta' = \frac{\zeta}{a}$$
$$\phi' = \frac{h_0}{aL\sqrt{gh_0}} \phi, \quad P' = \frac{P}{\rho gh_0},$$

$$\begin{aligned} \mu \frac{\partial^2 \Phi}{\partial x^2} + \frac{\partial^2 \Phi}{\partial z^2} &= 0 & z \in [-1, \epsilon \zeta] \\ \frac{\partial \Phi}{\partial t} + \frac{1}{2} \left(\epsilon \left(\frac{\partial \Phi}{\partial x} \right)^2 + \frac{\epsilon}{\mu} \left(\frac{\partial \Phi}{\partial z} \right)^2 \right) + \zeta &= 0 & z = \epsilon \zeta \\ \frac{\partial \zeta}{\partial t} + \epsilon \frac{\partial \Phi}{\partial x} \frac{\partial \zeta}{\partial x} &= \frac{1}{\mu} \frac{\partial \Phi}{\partial z} & z = \epsilon \zeta \\ \frac{\partial \Phi}{\partial z} &= 0 & z = -1 \end{aligned}$$

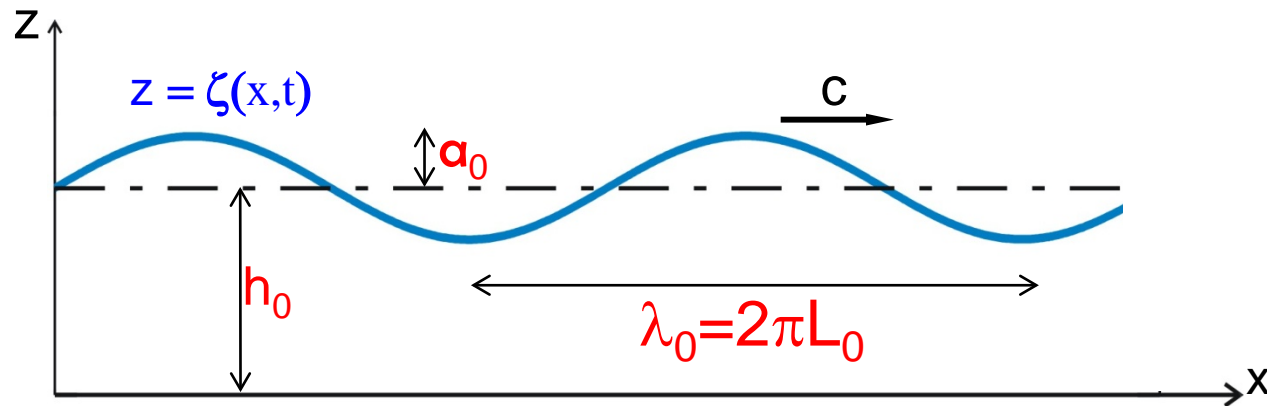
$$\zeta_H = - \left(\frac{\partial \Phi}{\partial t} + \frac{1}{2} \epsilon \left(\frac{\partial \Phi}{\partial x} \right)^2 \right) \Big|_{z=-1}$$

développements asymptotiques →

$$\zeta(x, t) \quad \text{fonction de} \quad \zeta_H = \frac{P_b(x, t) - P_a}{\rho_0 g} - h_0$$

Reconstruction entièrement dispersive

Bonneton, P., and Lannes, D. 2017. Recovering water wave elevation from pressure measurements. *J. of Fluid Mech.*, **833**, 399-429.



$$\sigma = \frac{a_0}{L_0} \ll 1$$

$$\phi = \phi_0 + \sigma\phi_1 + O(\sigma^2)$$

$$\mu \frac{\partial^2 \Phi}{\partial x^2} + \frac{\partial^2 \Phi}{\partial z^2} = 0 \quad z \in [-1, 0]$$

$$\frac{\partial \Phi}{\partial t} + \zeta = 0 \quad z = 0$$

$$\frac{\partial \zeta}{\partial t} - \frac{1}{\mu} \frac{\partial \Phi}{\partial z} = 0 \quad z = 0$$

$$\frac{\partial \Phi}{\partial z} = 0 \quad z = -1$$

$$\zeta_H = - \left(\frac{\partial \Phi}{\partial t} \right) \Big|_{z=-1}$$

$$\Phi(x, z, t) = \int_{\mathbb{R}} \hat{\Phi}(k, z, t) e^{ikx} dk$$

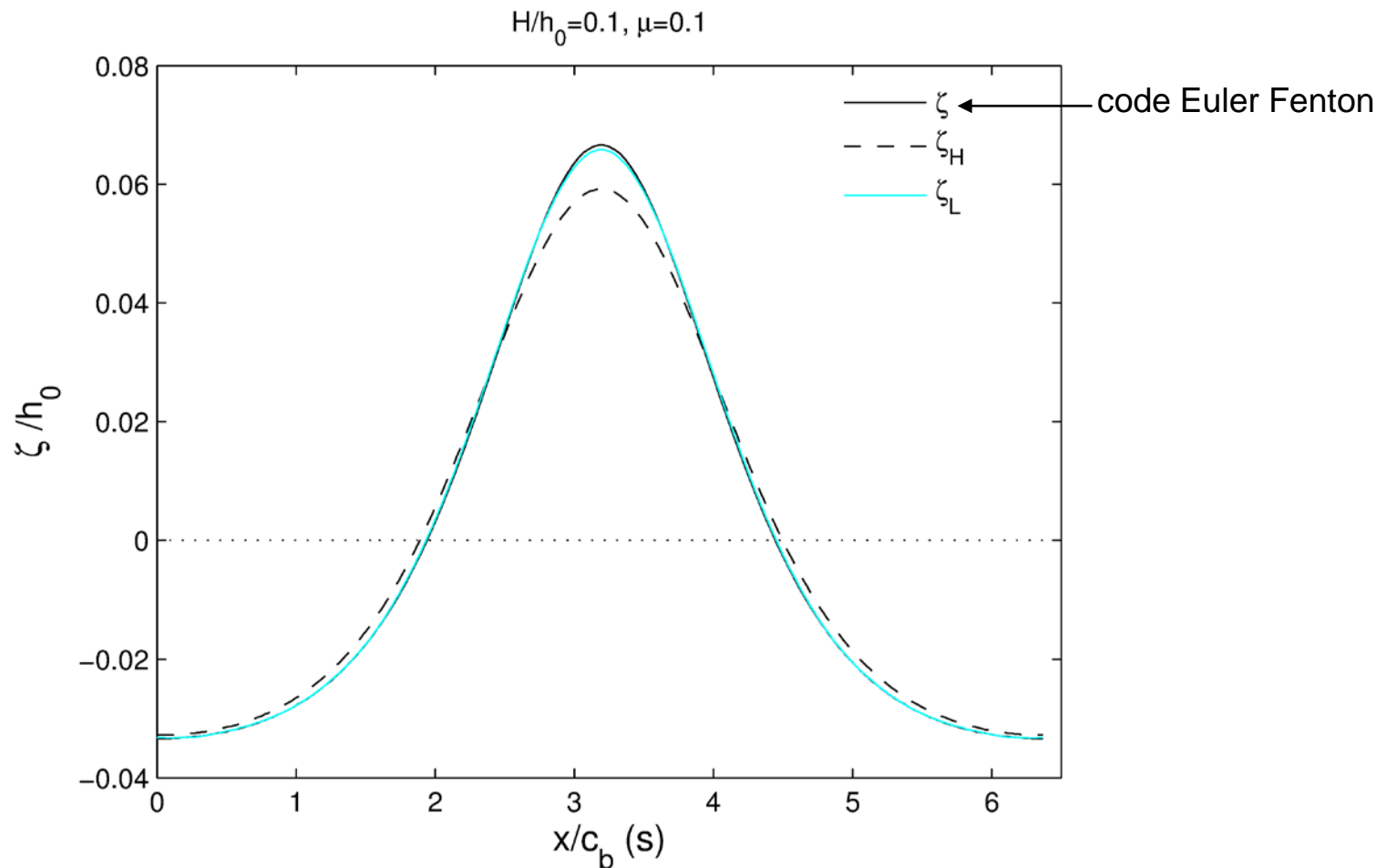
$$\hat{\zeta}(k, t) = \cosh(\sqrt{\mu}|k|) \hat{\zeta}_H$$

nécessite de connaître
 $\zeta_H(\mathbf{x}, t)$

vagues de forme permanente

$$\zeta_H = \frac{P_b - P_a}{\rho_0 g} - h_0$$

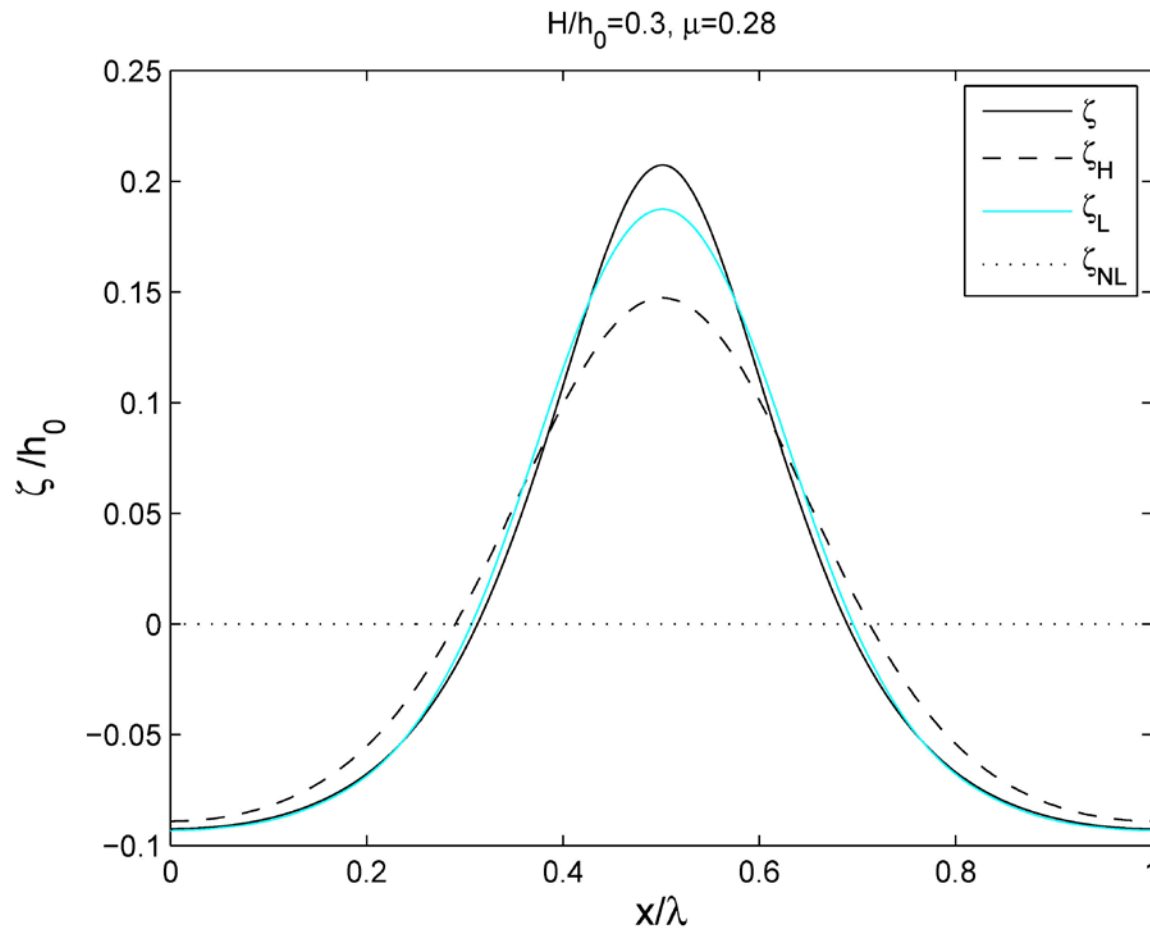
$$\hat{\zeta}_L(k) = \cosh(h_0 |k|) \hat{\zeta}_H(k)$$



vagues de forme permanente

$$\zeta_H = \frac{P_b - P_a}{\rho_0 g} - h_0$$

$$\hat{\zeta}_L(k) = \cosh(h_0 |k|) \hat{\zeta}_H(k)$$



$$\phi = \phi_0 + \sigma\phi_1 + O(\sigma^2)$$

voir Lannes (Livre, 2013)

$$\zeta = \zeta_L - \sqrt{\mu}\sigma \partial_t(\zeta_L \partial_t \zeta_L) + O(\sigma^2)$$

$$\hat{\zeta}_L(k) = \cosh(\sqrt{\mu}|k|) \hat{\zeta}_H(k)$$

$$\phi = \phi_0 + \sigma\phi_1 + O(\sigma^2)$$

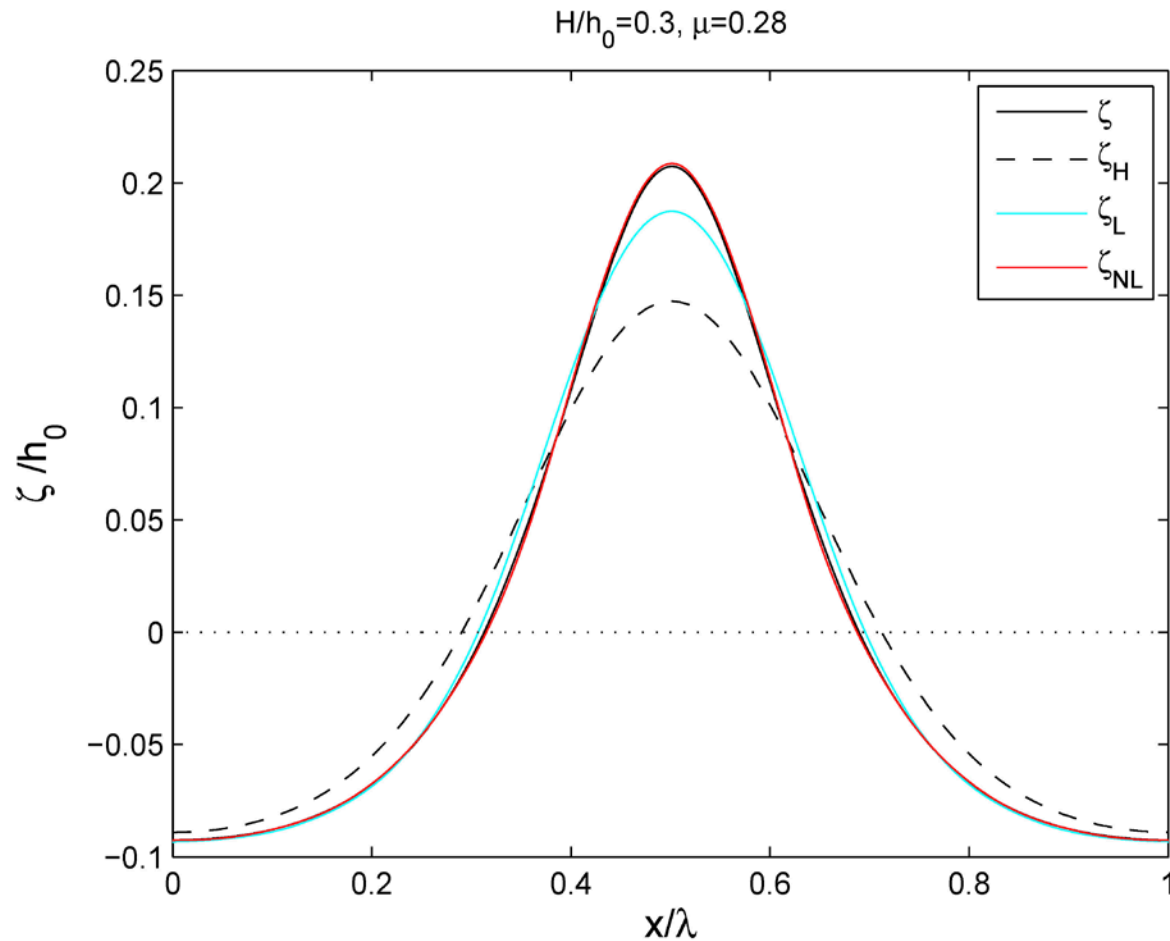
voir Lannes (Livre, 2013) et Bonneton et Lannes (JFM, 2017)

$$\zeta_{NL} = \zeta_L - \sqrt{\mu}\sigma \partial_t(\zeta_L \partial_t \zeta_L)$$

$$\hat{\zeta}_L(k) = \cosh(\sqrt{\mu}|k|) \hat{\zeta}_H(k)$$

$$\zeta_{NL} = \zeta_L - \sqrt{\mu}\sigma (\zeta_L \partial_t^2 \zeta_L + (\partial_t \zeta_L)^2)$$

$$\zeta_{NL} = \zeta_L - \sqrt{\mu}\sigma (\zeta_L \partial_t^2 \zeta_L + (\partial_t \zeta_L)^2)$$



$$\zeta_{NL} = \zeta_L - \sqrt{\mu}\sigma \partial_t(\zeta_L \partial_t \zeta_L)$$

$$\hat{\zeta}_L(k) = \cosh(\sqrt{\mu}|k|) \hat{\zeta}_H(k)$$

nécessite de connaître

$$\zeta_H(x, t) = \frac{P_b(x, t) - Pa - 1}{\varepsilon}$$

en pratique on connait seulement $P_b(x_0, t)$

→ comment reconstruire $\zeta(x_0, t)$ à partir d'une mesure localisée en x_0 ?

Vagues linéaires

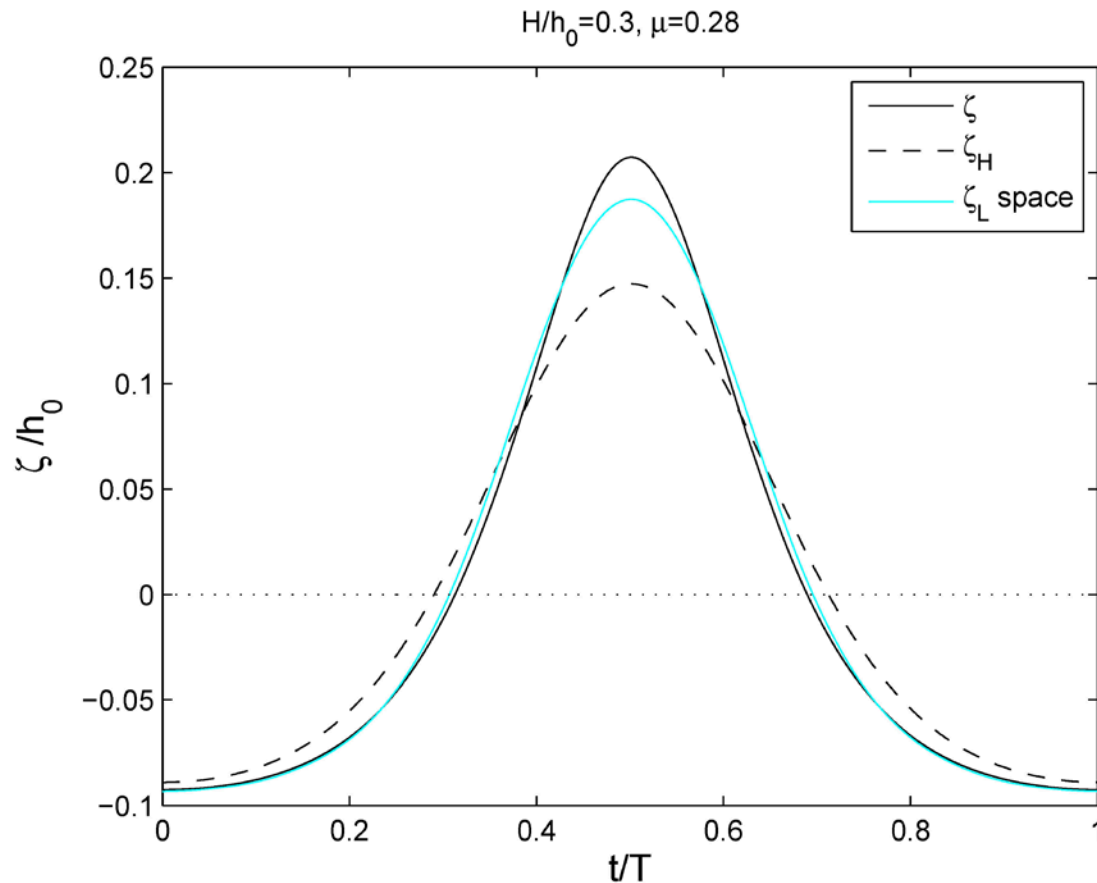
$$\hat{\zeta} = \cosh(\sqrt{\mu}|k|)\hat{\zeta}_H$$

$$\frac{\partial^2 \hat{\zeta}}{\partial t^2} + \omega^2 \hat{\zeta} = 0 \quad \omega^2 = \frac{1}{\sqrt{\mu}}|k| \tanh(\sqrt{\mu}|k|)$$

$$\tilde{\zeta}(\omega, x) = \cosh(\sqrt{\mu}|k(\omega)|)\tilde{\zeta}_H(\omega, x)$$

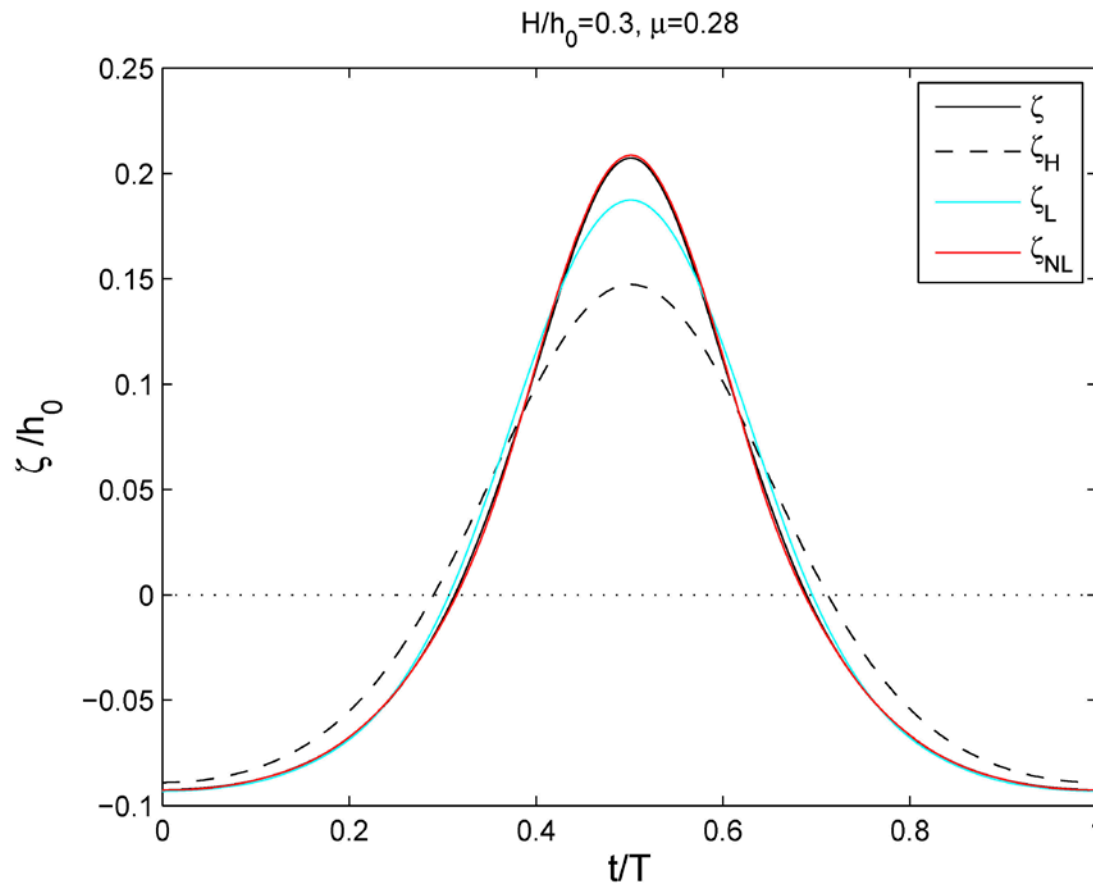
Vagues non-linéaires

reconstructions linéaires : spatiale et temporelle



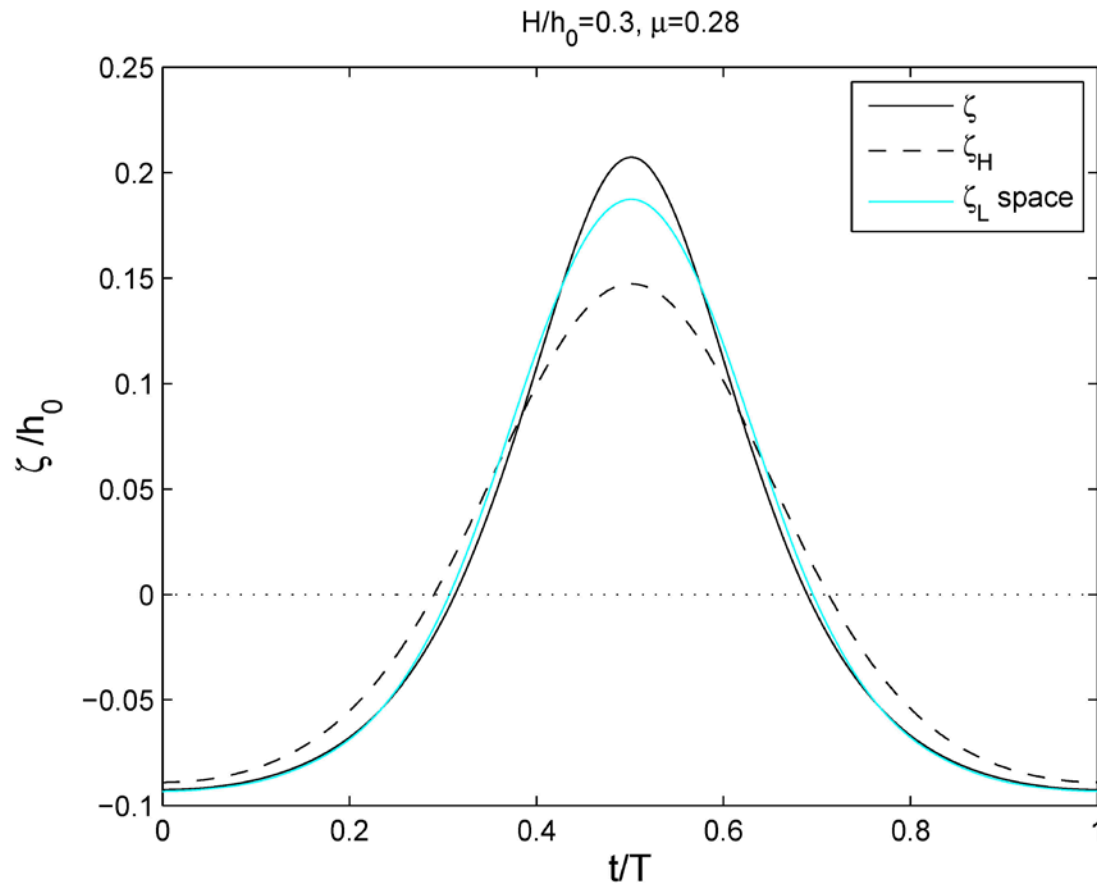
Vagues non-linéaires

reconstructions linéaires : spatiale et temporelle

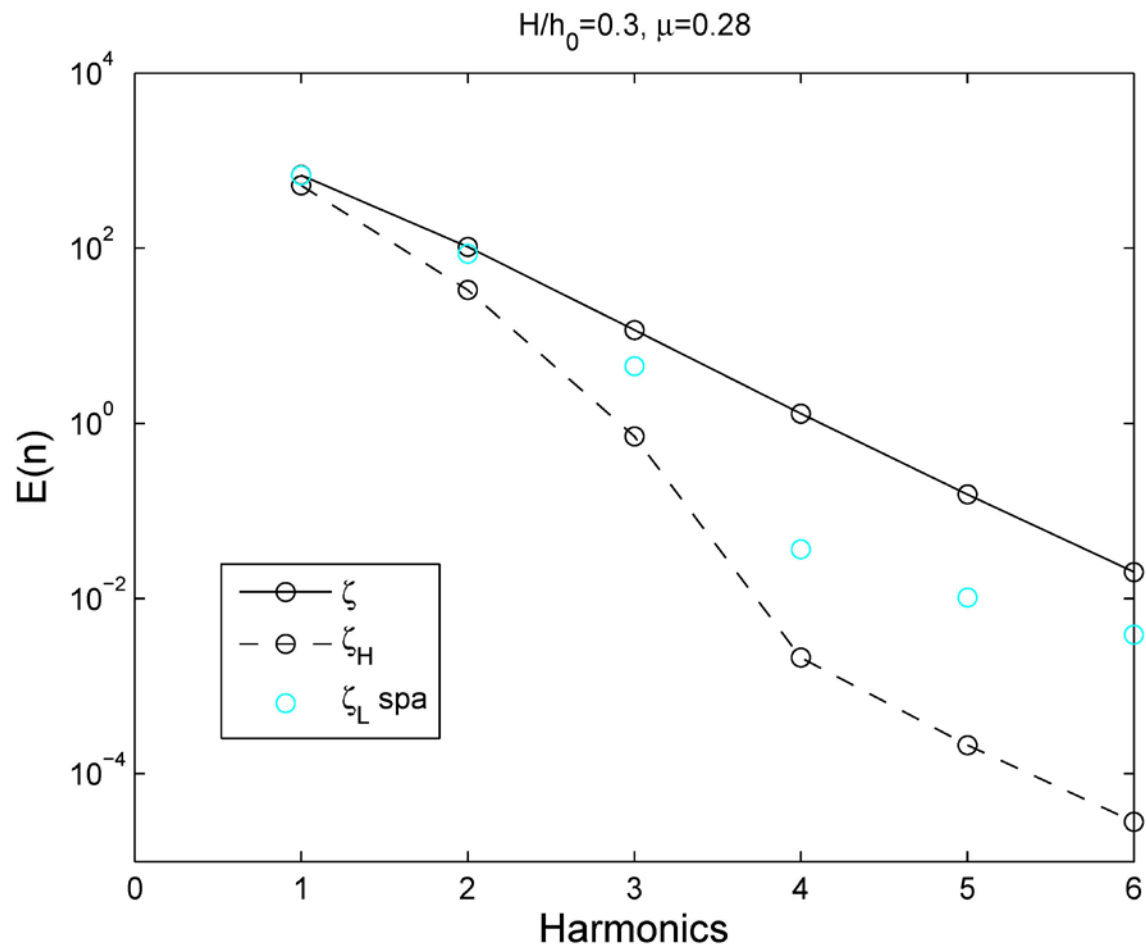


Vagues non-linéaires

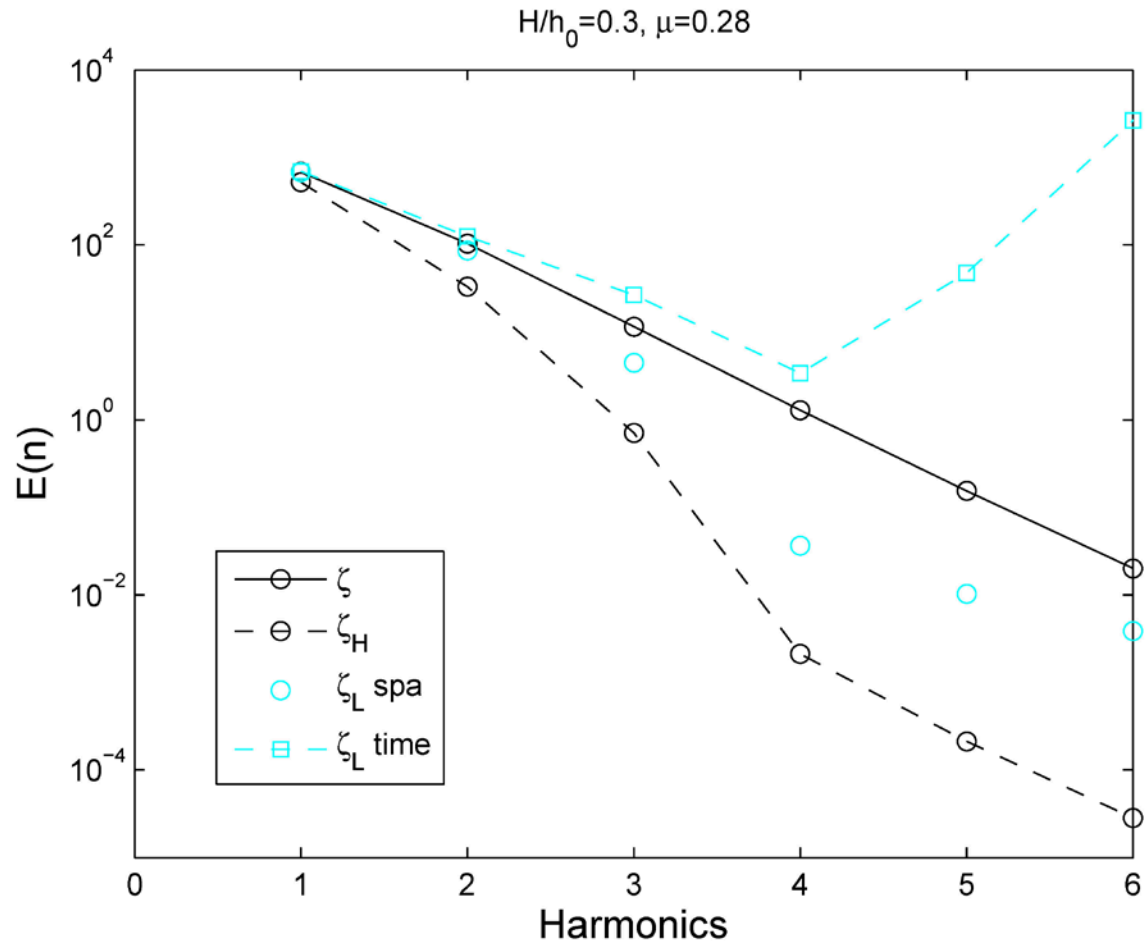
reconstructions linéaires : spatiale et temporelle



Vagues non-linéaires



Vagues non-linéaires

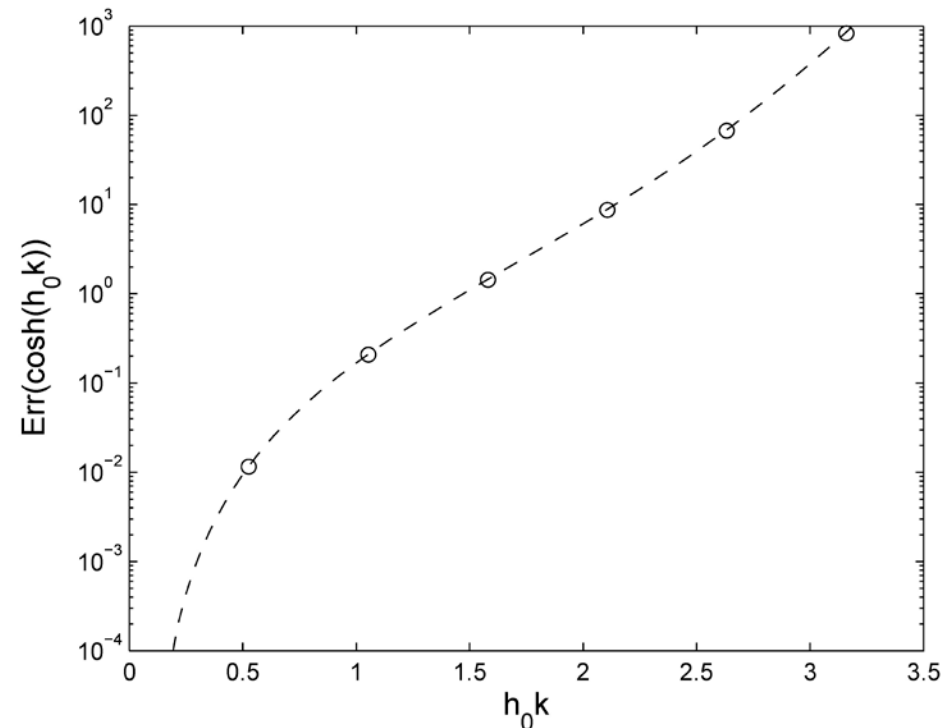
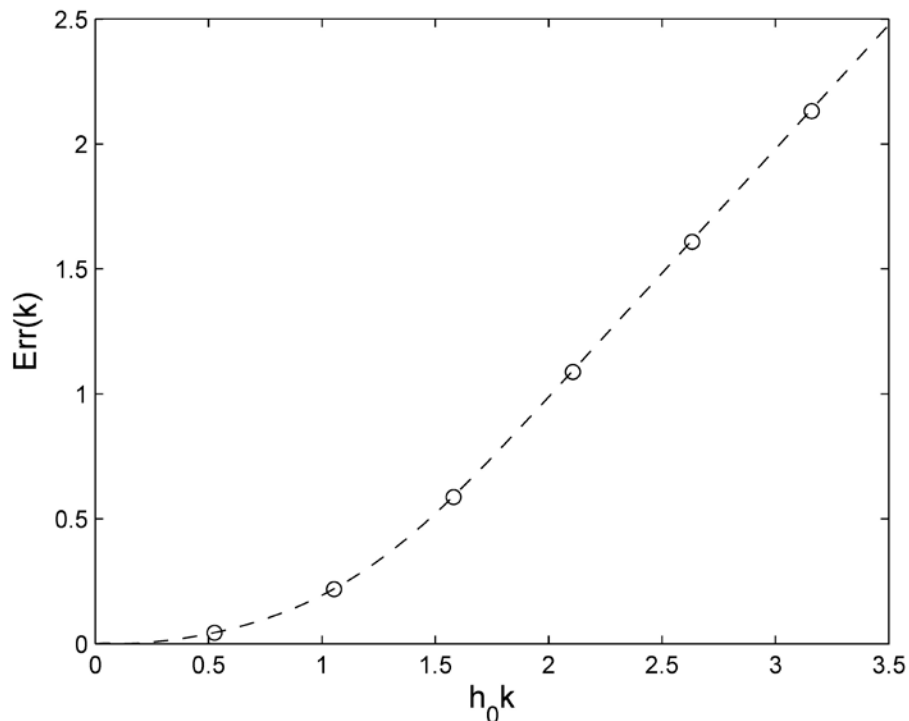


$$\tilde{\zeta}(\omega, x) = \cosh(\sqrt{\mu}|k(\omega)|)\tilde{\zeta}_H(\omega, x)$$

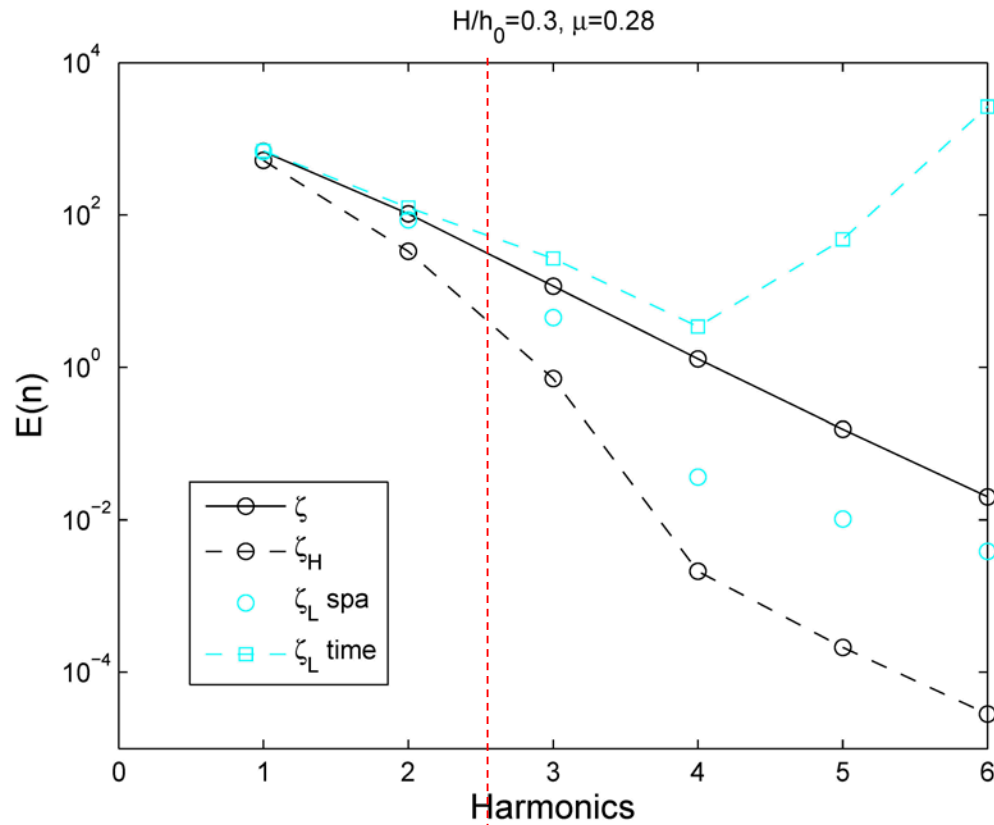
Vagues non-linéaires

$$\tilde{\zeta}_L(\omega) = \cosh(h_0 |k(\omega)|) \tilde{\zeta}_H(\omega)$$

$$\omega^2 = g|k| \tanh(h_0 |k(\omega)|) \rightarrow c_\varphi = \sqrt{\frac{g}{|k|} \tanh(h_0 |k|)}$$



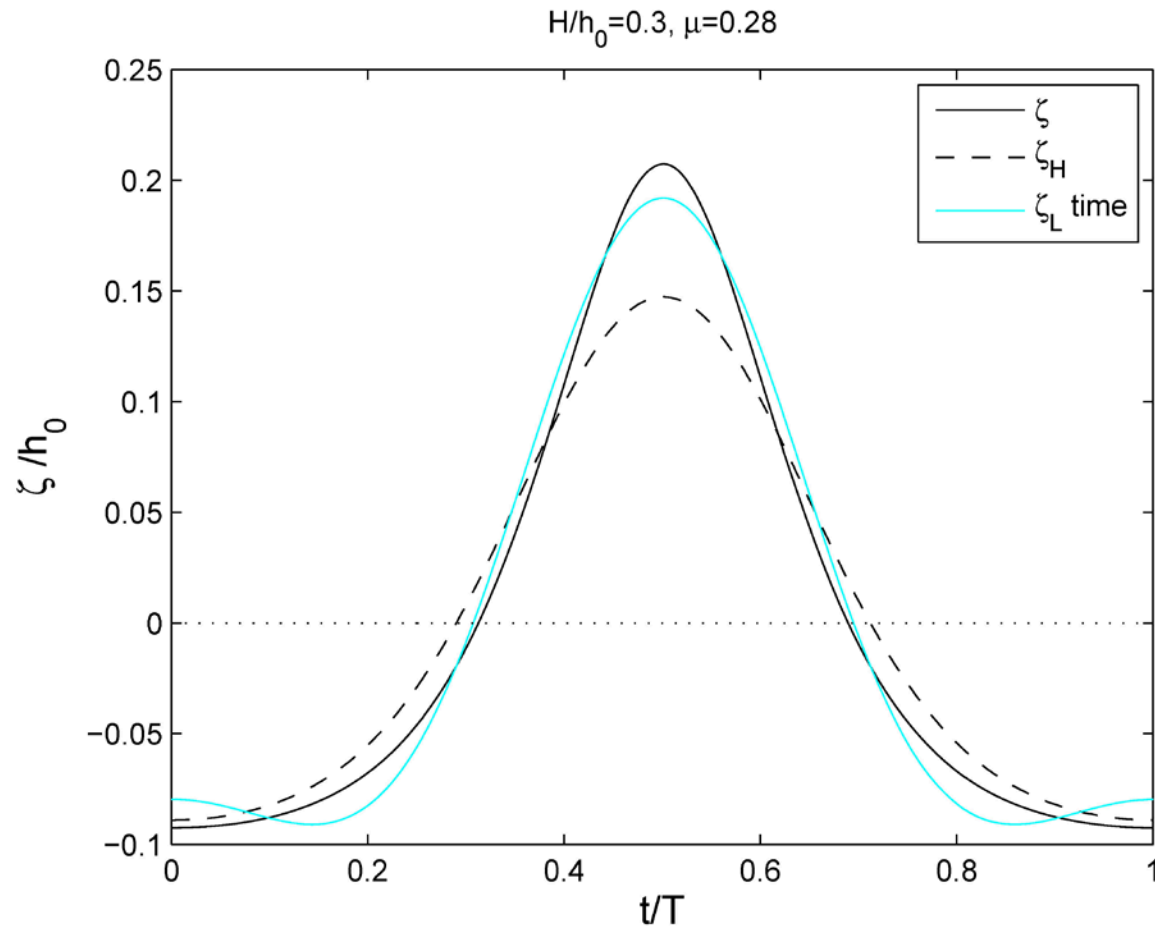
$$\tilde{\zeta}_L(\omega) = \cosh(h_0 |k(\omega)|) \tilde{\zeta}_H(\omega)$$



fréquence de coupure

Reconstruction linéaire temporelle

$$\tilde{\zeta}_L(\omega) = \cosh(h_0 |k(\omega)|) \tilde{\zeta}_H(\omega) \quad \& \quad \text{fréquence de coupure}$$



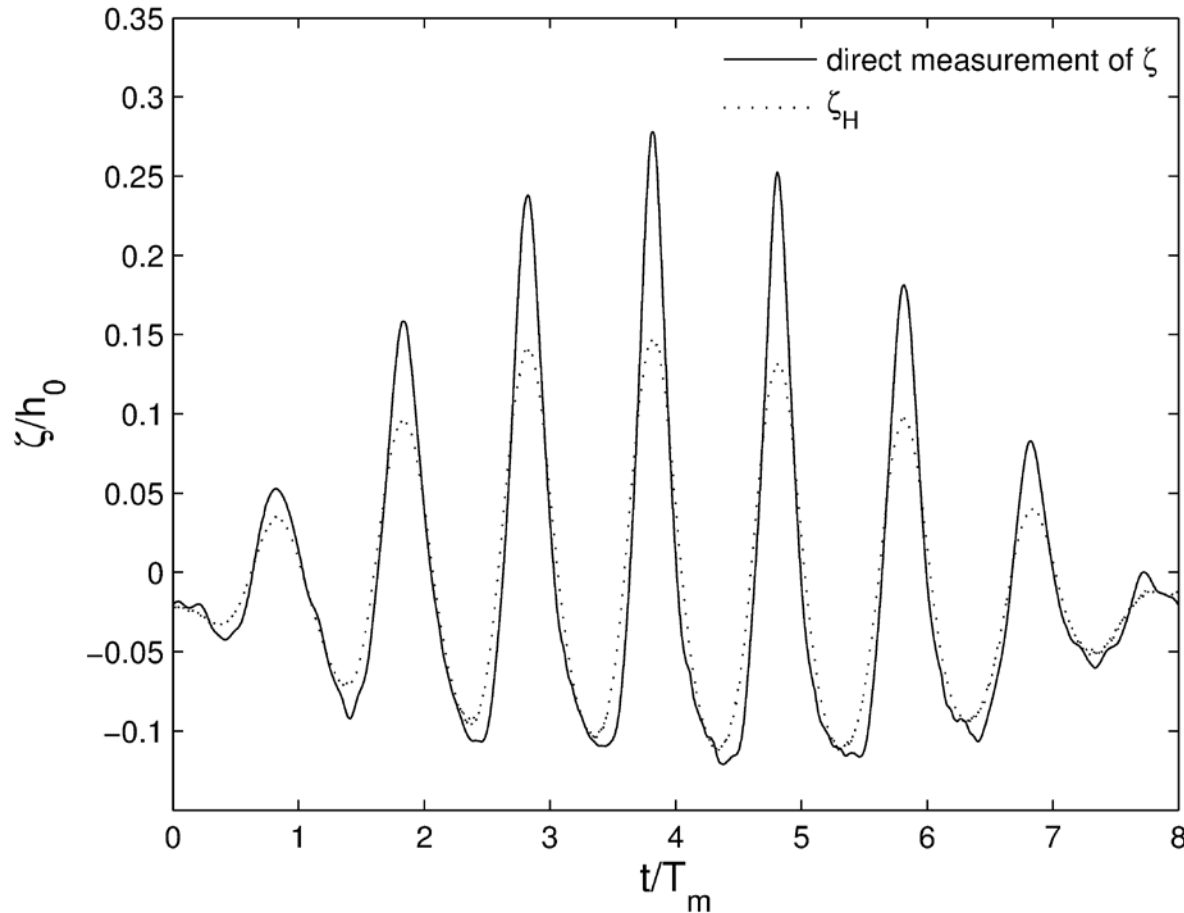
Reconstruction linéaire temporelle

$$\tilde{\zeta}_L(\omega) = \cosh(h_0 |k(\omega)|) \tilde{\zeta}_H(\omega) \quad \& \quad \text{fréquence de coupure}$$

→ **méthode classique en océanographie
pour reconstruire ζ**

*Folsom (1947), Seiwel (1947), Hom-ma et al. (1966), Cavaleri et al. (1978),
Guza et Thornton (1980), ... Karimpour et Chen (2017)*

Reconstruction linéaire temporelle



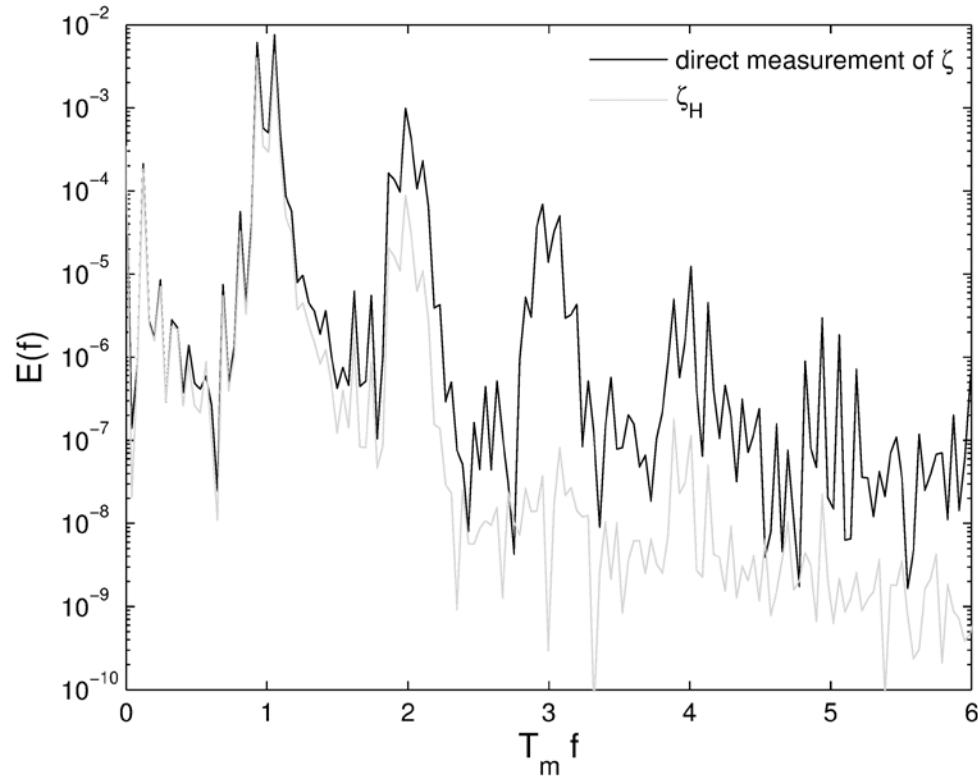
Vagues bichromatiques
Michallet et al. 2017

$$\zeta_H = \frac{P_b - P_a}{\rho_0 g} - h_0$$

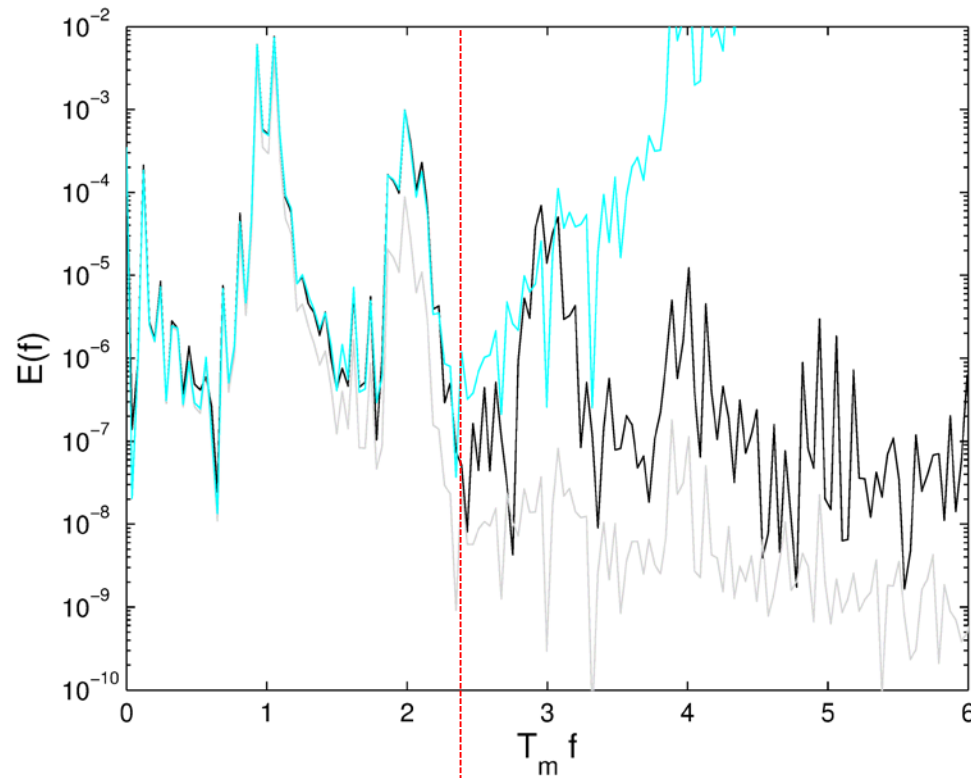
$$\tilde{\zeta}_L(\omega) = \cosh(h_0 |k(\omega)|) \tilde{\zeta}_H(\omega)$$

$$\omega^2 = g |k| \tanh(h_0 |k(\omega)|)$$

Reconstruction linéaire temporelle



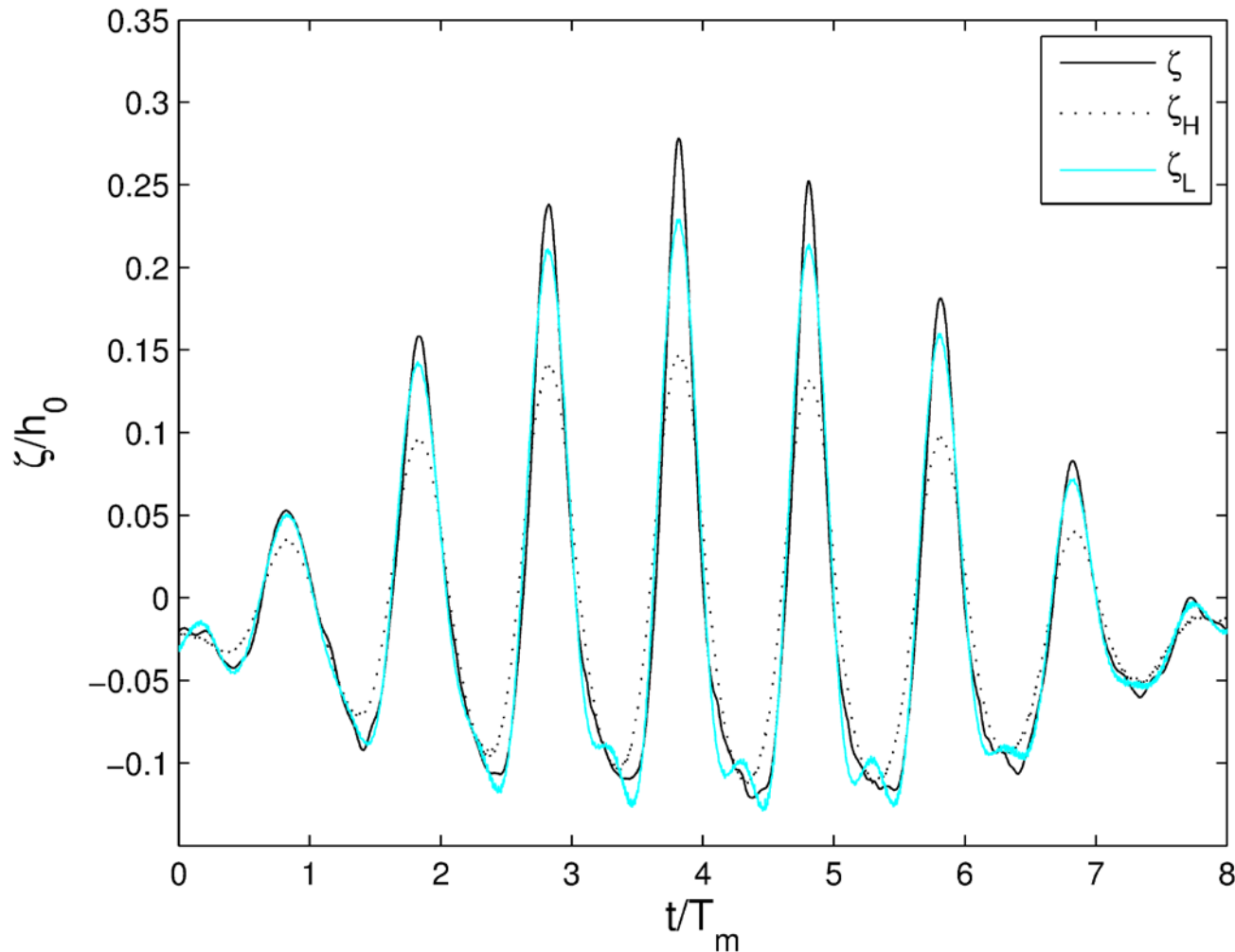
Reconstruction linéaire temporelle



f_c : fréquence de coupure

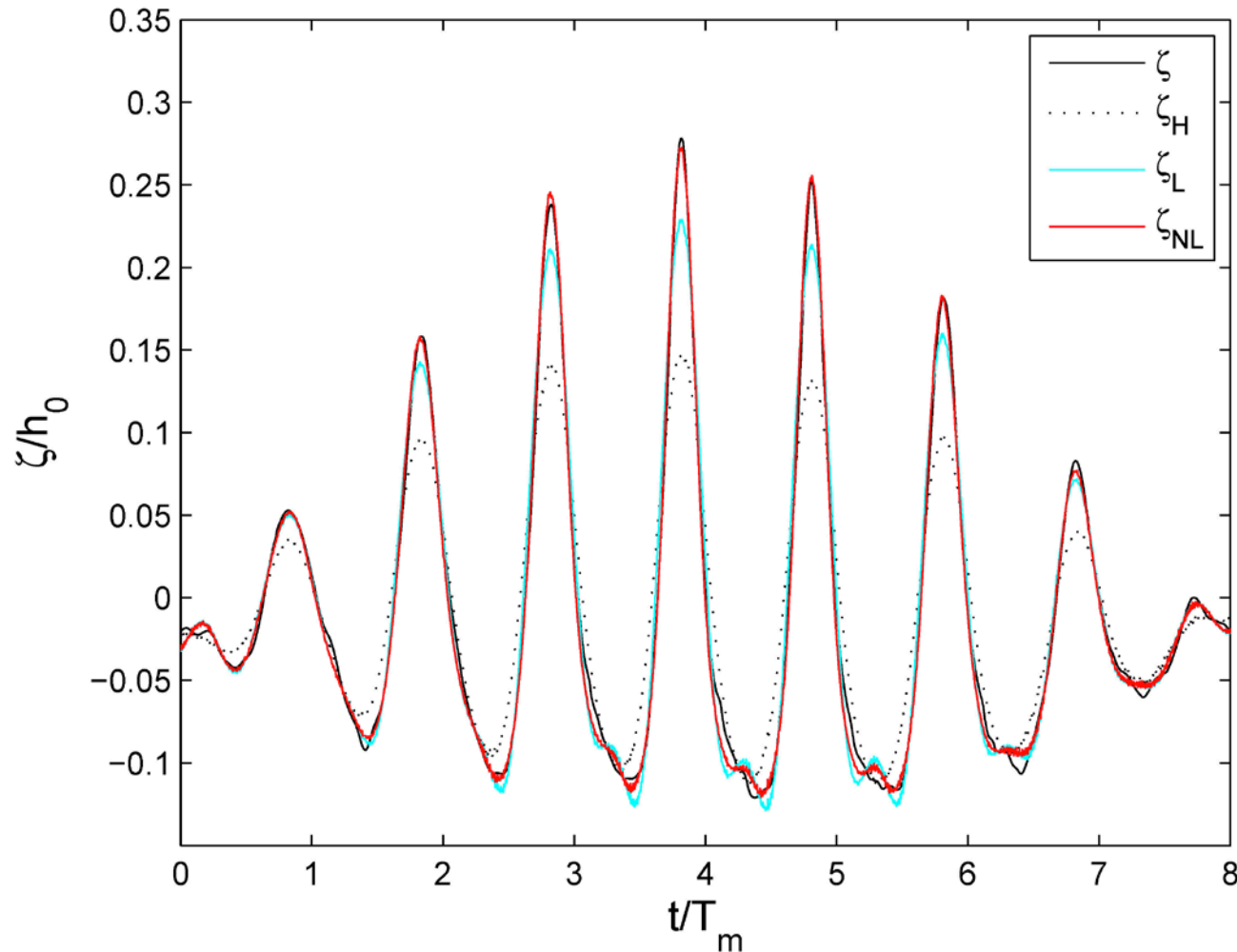
Reconstruction linéaire temporelle

$$\tilde{\zeta}_L(\omega) = \cosh(h_0|k(\omega)|) \tilde{\zeta}_H(\omega) \quad \& \quad \text{fréquence de coupure}$$



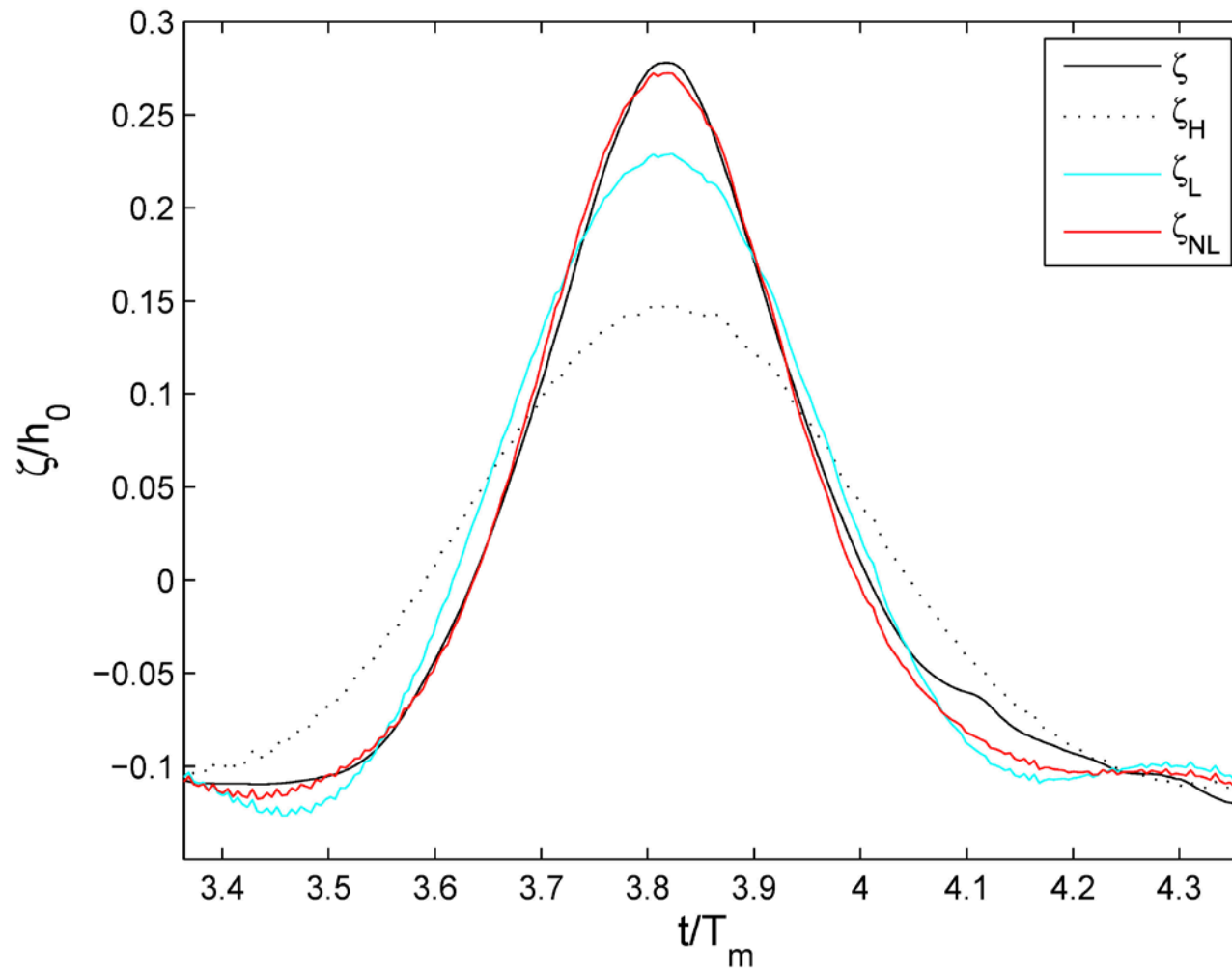
Reconstruction non-linéaire temporelle

$$\zeta_{NL} = \zeta_L - \frac{1}{g} \partial_t (\zeta_L \partial_t \zeta_L)$$



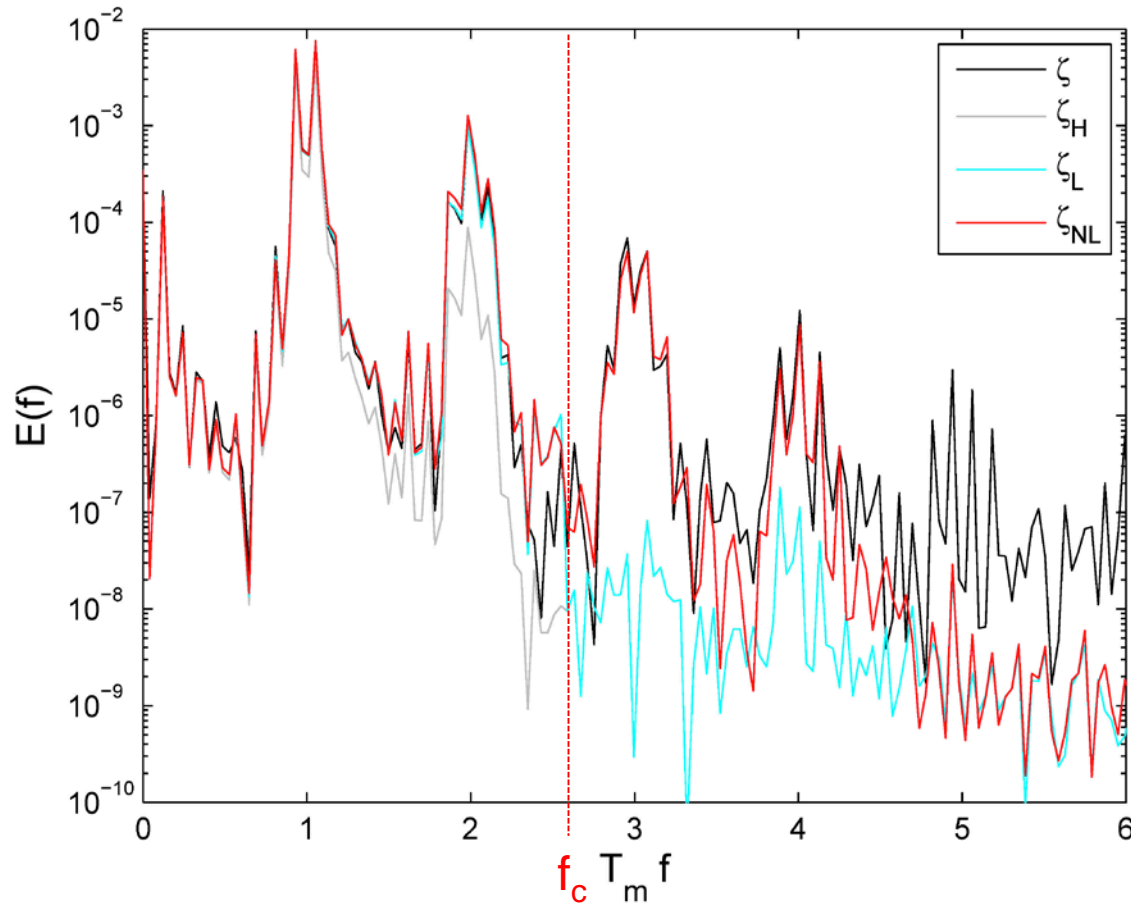
Reconstruction non-linéaire temporelle

$$\zeta_{NL} = \zeta_L - \frac{1}{g} \partial_t (\zeta_L \partial_t \zeta_L)$$



Reconstruction non-linéaire temporelle

$$\zeta_{NL} = \zeta_L - \frac{1}{g} \partial_t (\zeta_L \partial_t \zeta_L)$$



Reconstruction non-linéaire faiblement dispersive

Bonneton, P., Lannes, D, Martins, K. and Michallet, H. 2017. A nonlinear weakly dispersive method for recovering the surface wave elevation from pressure measurements. submitted to *Coastal Eng.*

Reconstruction non-linéaire faiblement dispersive

les vagues sont fortement non-linéaires juste avant le déferlement



$\mu \ll 1 \rightarrow$ méthode non-linéaire faiblement dispersive

$$\varepsilon \underbrace{\left(\frac{\partial w}{\partial t} + \varepsilon u \frac{\partial w}{\partial x} + \frac{\varepsilon}{\mu} w \frac{\partial w}{\partial z} \right)}_{\Gamma} = -\frac{\partial P}{\partial z} - 1$$

$$\zeta = \zeta_H - \int_{-1}^{\varepsilon \zeta} \Gamma dz$$

Développement asymptotique par rapport μ pour trouver l'expression de Γ en fonction de ζ_H

Reconstruction non-linéaire faiblement dispersive

$$\Phi = \sum_{j=0}^N \mu^j \Phi_j = \Phi_0 + \mu \Phi_1 + O(\mu^2)$$

$$\begin{aligned} \mu \frac{\partial^2 \Phi}{\partial x^2} + \frac{\partial^2 \Phi}{\partial z^2} &= 0 & z \in [-1, \epsilon \zeta] \\ \frac{\partial \Phi}{\partial z} &= 0 & z = -1 \end{aligned}$$

$$\Phi = \psi - \frac{\mu}{2} \left((z+1)^2 - h^2 \right) \frac{\partial^2 \psi}{\partial z^2} + O(\mu^2)$$

avec $\psi = \Phi|_{z=\epsilon \zeta}$

$$\begin{aligned} u &= U - \frac{\mu}{2} \left((z+1)^2 - h^2 \right) \frac{\partial^2 U}{\partial z^2} + O(\mu^2) \\ w &= -\mu(z+1) \partial_x U + O(\mu^2) \end{aligned}$$

Reconstruction non-linéaire faiblement dispersive

$$u = U - \frac{\mu}{2} ((z+1)^2 - h^2) \frac{\partial^2 U}{\partial z^2} + O(\mu^2)$$
$$w = -\mu(z+1)\partial_x U + O(\mu^2)$$

$$\Gamma = \frac{\partial w}{\partial t} + \varepsilon u \frac{\partial w}{\partial x} + \frac{\varepsilon}{\mu} w \frac{\partial w}{\partial z}$$

$$\Gamma = -\mu(z+1) \left(\frac{\partial^2 U}{\partial x \partial t} + \varepsilon U \frac{\partial^2 U}{\partial x^2} - \varepsilon \left(\frac{\partial U}{\partial x} \right)^2 \right) + O(\mu^2)$$

$$\zeta = \zeta_H - \int_{-1}^{\varepsilon \zeta} \Gamma dz$$

$$\zeta = \zeta_H - \frac{\mu h^2}{2} \left(\frac{\partial^2 \zeta}{\partial x^2} + 2\varepsilon \left(\frac{\partial U}{\partial x} \right)^2 \right) + O(\mu^2)$$

Reconstruction non-linéaire faiblement dispersive

$$\zeta = \zeta_H - \frac{\mu h^2}{2} \left(\frac{\partial^2 \zeta}{\partial x^2} + 2\varepsilon \left(\frac{\partial U}{\partial x} \right)^2 \right) + O(\mu^2)$$

► $\varepsilon = O(\mu)$

$$\zeta_{SL} = \zeta_H - \frac{\mu}{2} \frac{\partial^2 \zeta_H}{\partial t^2}$$

► $\varepsilon = O(\mu^{1/2})$

$$\zeta_{SNL} = \zeta_{SL} - \varepsilon \mu \partial_t (\zeta_{SL} \partial_t \zeta_{SL})$$

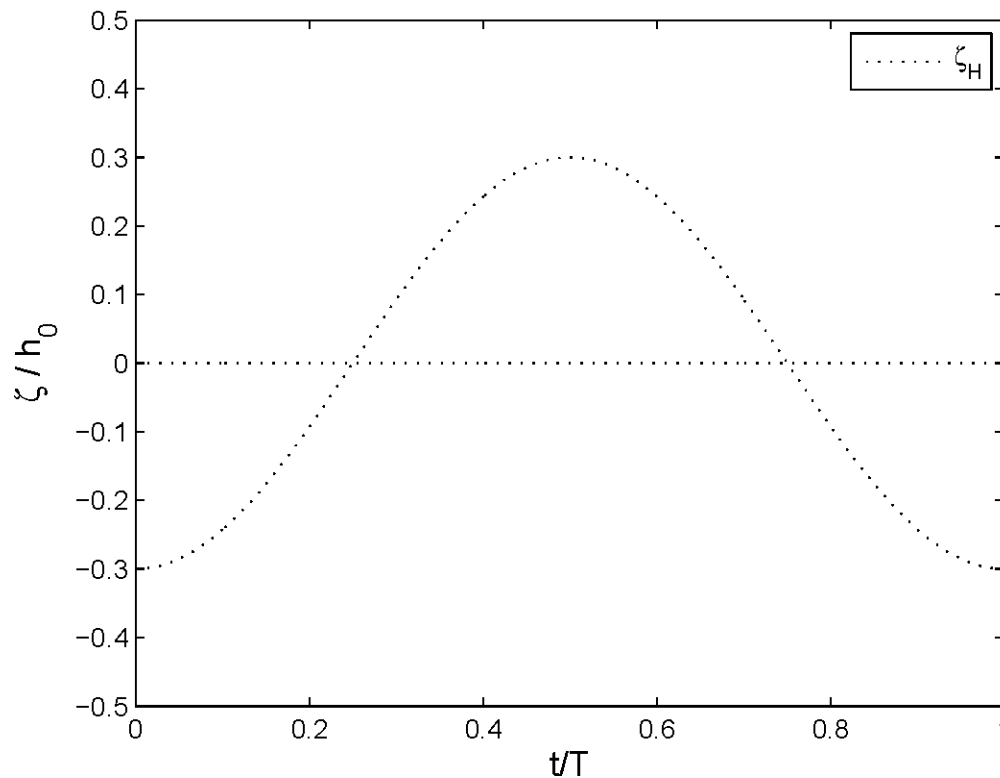
- $$\zeta_H = \frac{P_b - P_a}{\rho_0 g} - h_0$$
- $$\zeta_{SL} = \zeta_H - \frac{h_0}{2} \frac{\partial^2 \zeta_H}{\partial t^2}$$
- $$\begin{aligned} \zeta_{SNL} &= \zeta_{SL} - \frac{1}{g} \partial_t (\zeta_{SL} \partial_t \zeta_{SL}) \\ &= \zeta_{SL} - \frac{1}{g} \zeta_{SL} \partial_t^2 \zeta_{SL} - \frac{1}{g} (\partial_t \zeta_{SL})^2 \end{aligned}$$

Reconstruction non-linéaire faiblement dispersive

$$\zeta_H = \frac{P_b - P_a}{\rho_0 g} - h_0$$

$$\zeta_{SL} = \zeta_H - \frac{h_0}{2} \frac{\partial^2 \zeta_H}{\partial t^2}$$

$$\zeta_{SNL} = \zeta_{SL} - \frac{1}{g} \zeta_{SL} \partial_t^2 \zeta_{SL} - \frac{1}{g} (\partial_t \zeta_{SL})^2$$

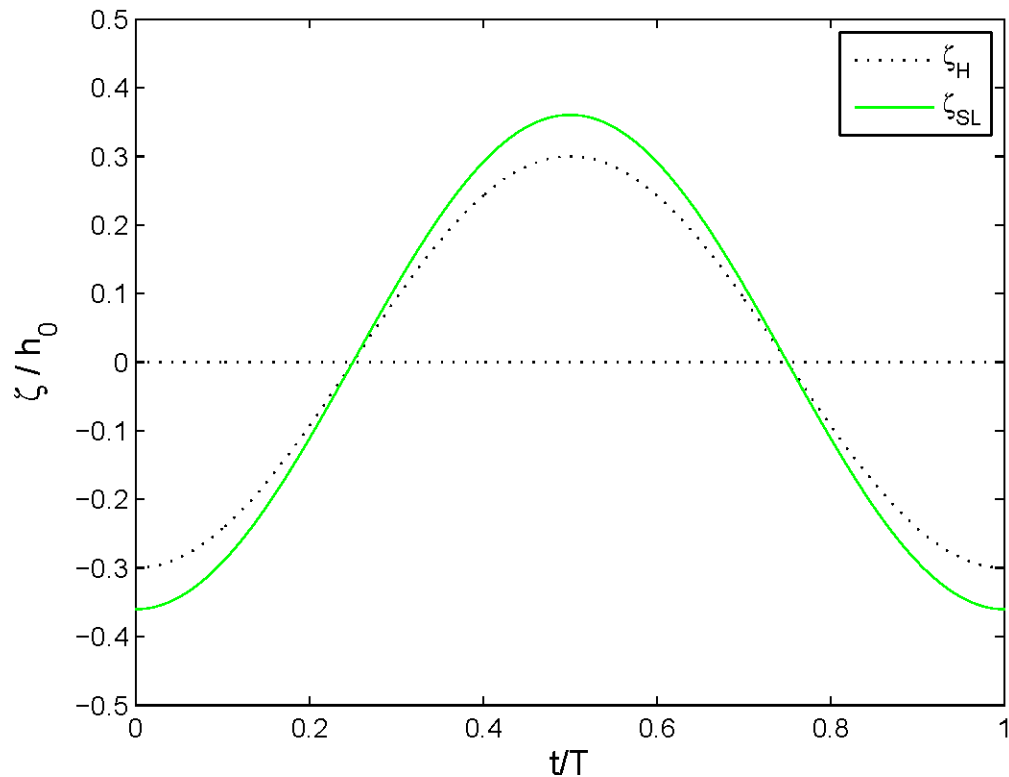


Reconstruction non-linéaire faiblement dispersive

$$\zeta_H = \frac{P_b - P_a}{\rho_0 g} - h_0$$

$$\zeta_{SL} = \zeta_H - \frac{h_0}{2} \frac{\partial^2 \zeta_H}{\partial t^2}$$

$$\zeta_{SNL} = \zeta_{SL} - \frac{1}{g} \zeta_{SL} \partial_t^2 \zeta_{SL} - \frac{1}{g} (\partial_t \zeta_{SL})^2$$

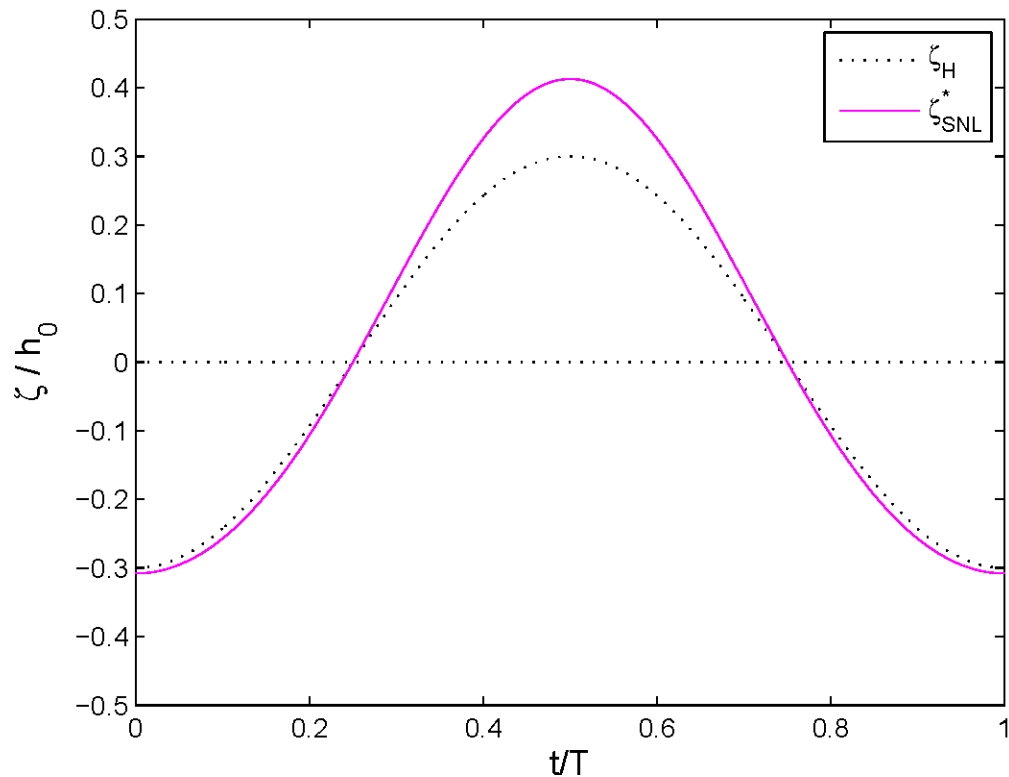


Reconstruction non-linéaire faiblement dispersive

$$\zeta_H = \frac{P_b - P_a}{\rho_0 g} - h_0$$

$$\zeta_{SL} = \zeta_H - \frac{h_0}{2} \frac{\partial^2 \zeta_H}{\partial t^2}$$

$$\zeta_{SNL} = \zeta_{SL} - \frac{1}{g} \zeta_{SL} \partial_t^2 \zeta_{SL} - \frac{1}{g} (\partial_t \zeta_{SL})^2$$

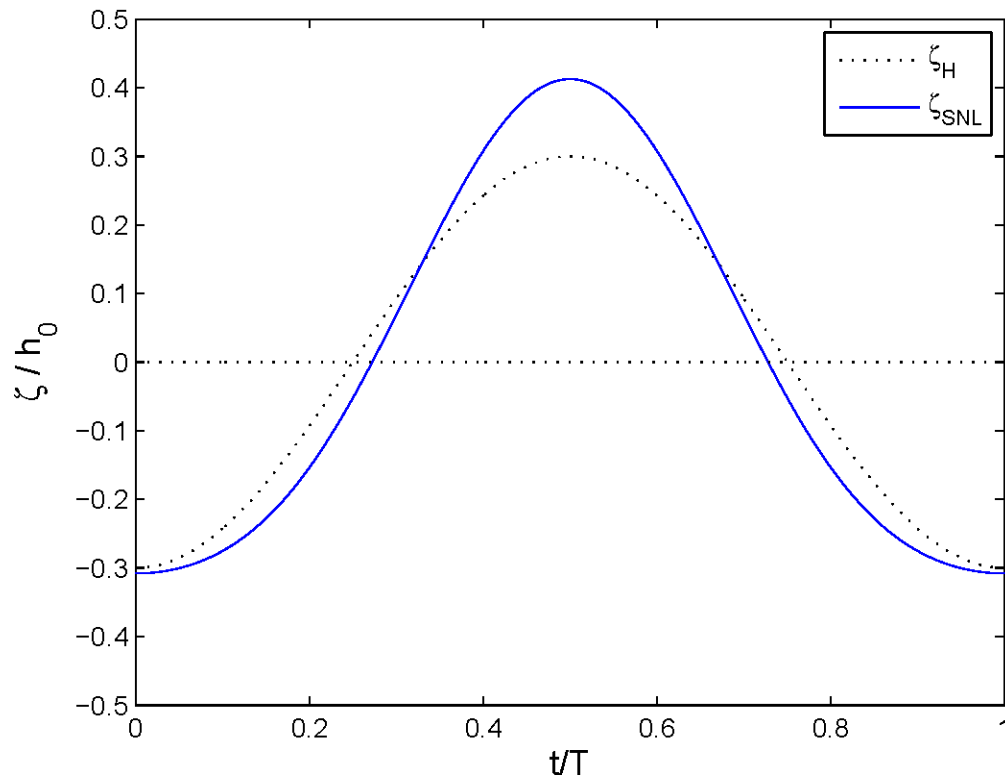


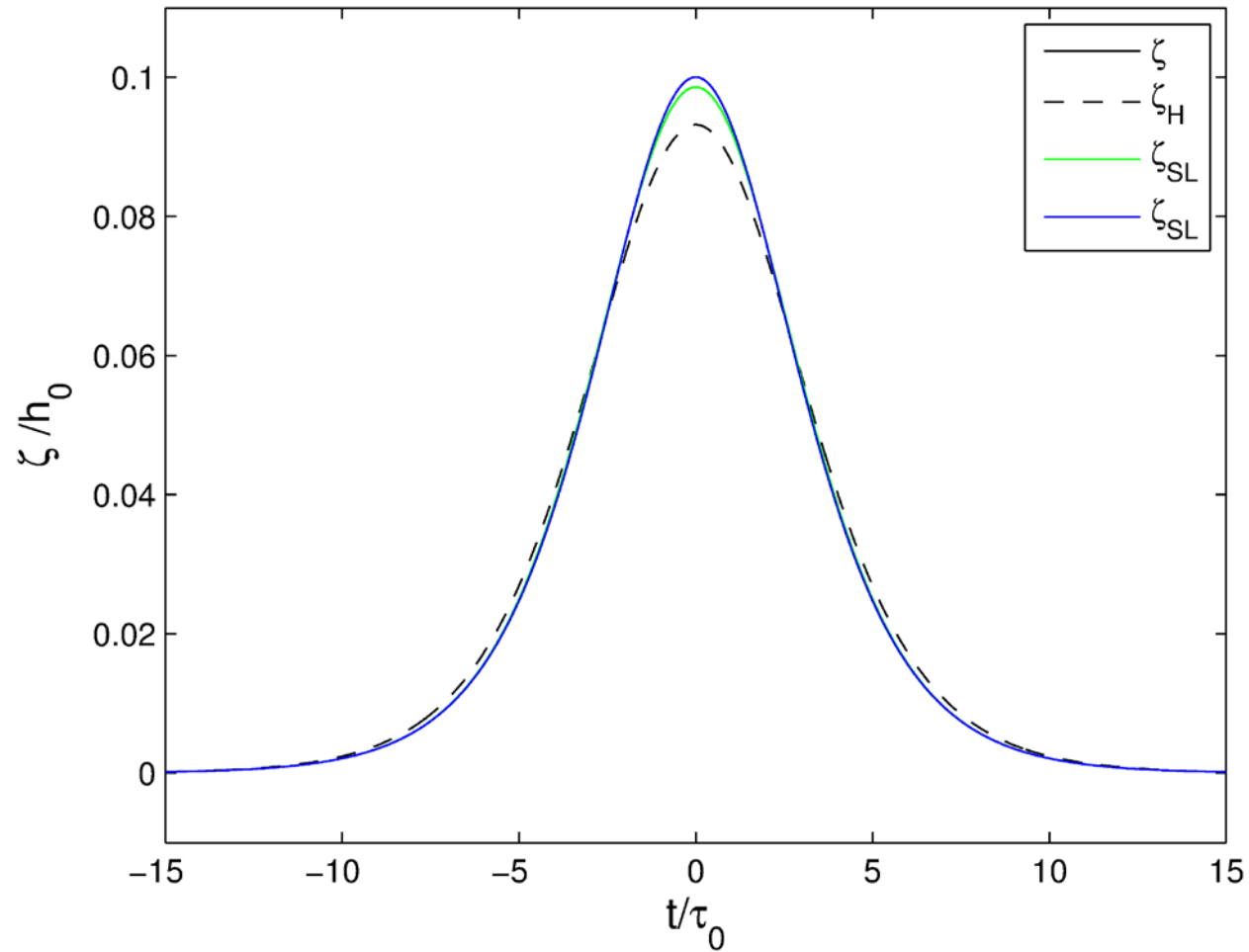
Reconstruction non-linéaire faiblement dispersive

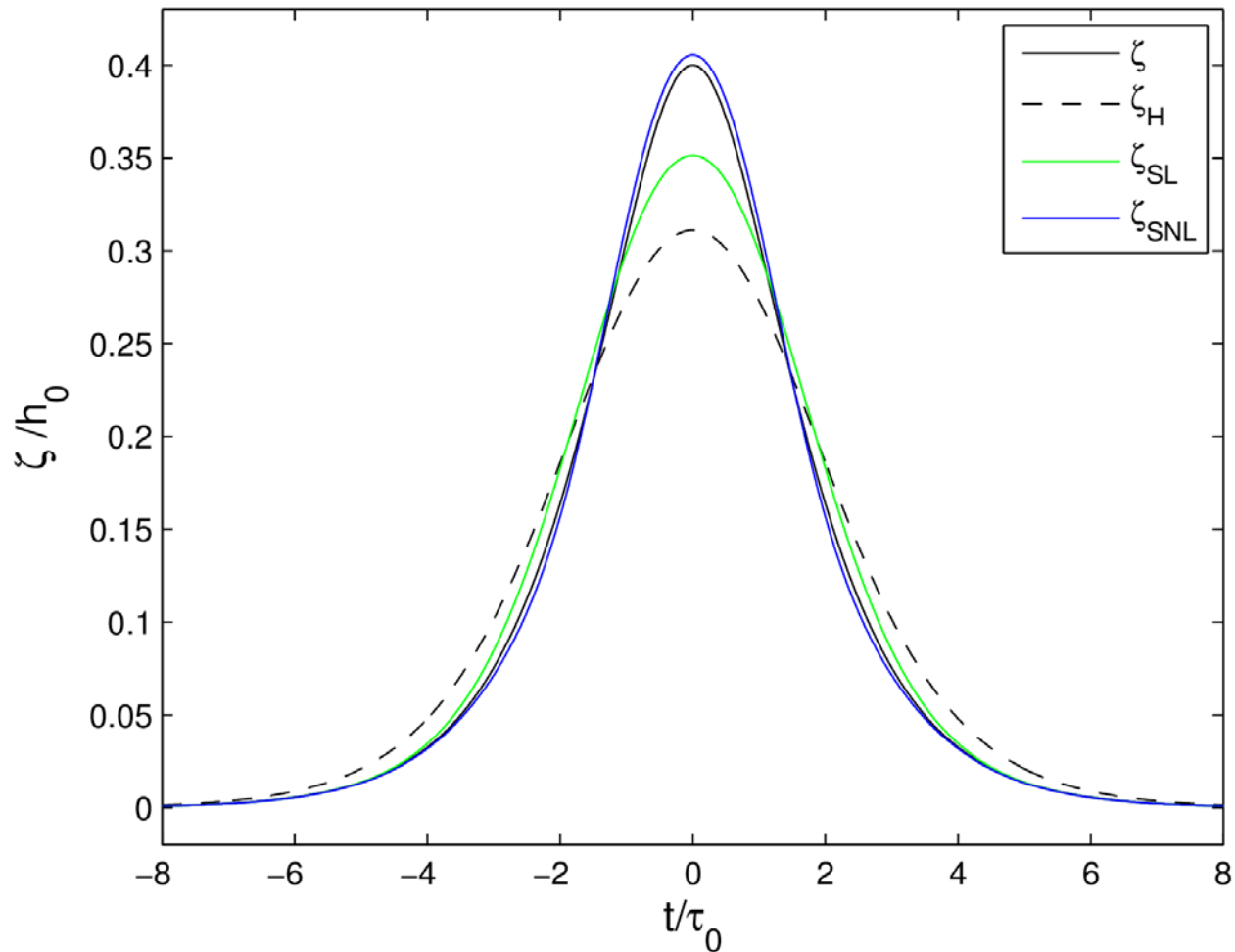
$$\zeta_H = \frac{P_b - P_a}{\rho_0 g} - h_0$$

$$\zeta_{SL} = \zeta_H - \frac{h_0}{2} \frac{\partial^2 \zeta_H}{\partial t^2}$$

$$\zeta_{SNL} = \zeta_{SL} - \frac{1}{g} \zeta_{SL} \partial_t^2 \zeta_{SL} - \frac{1}{g} (\partial_t \zeta_{SL})^2$$

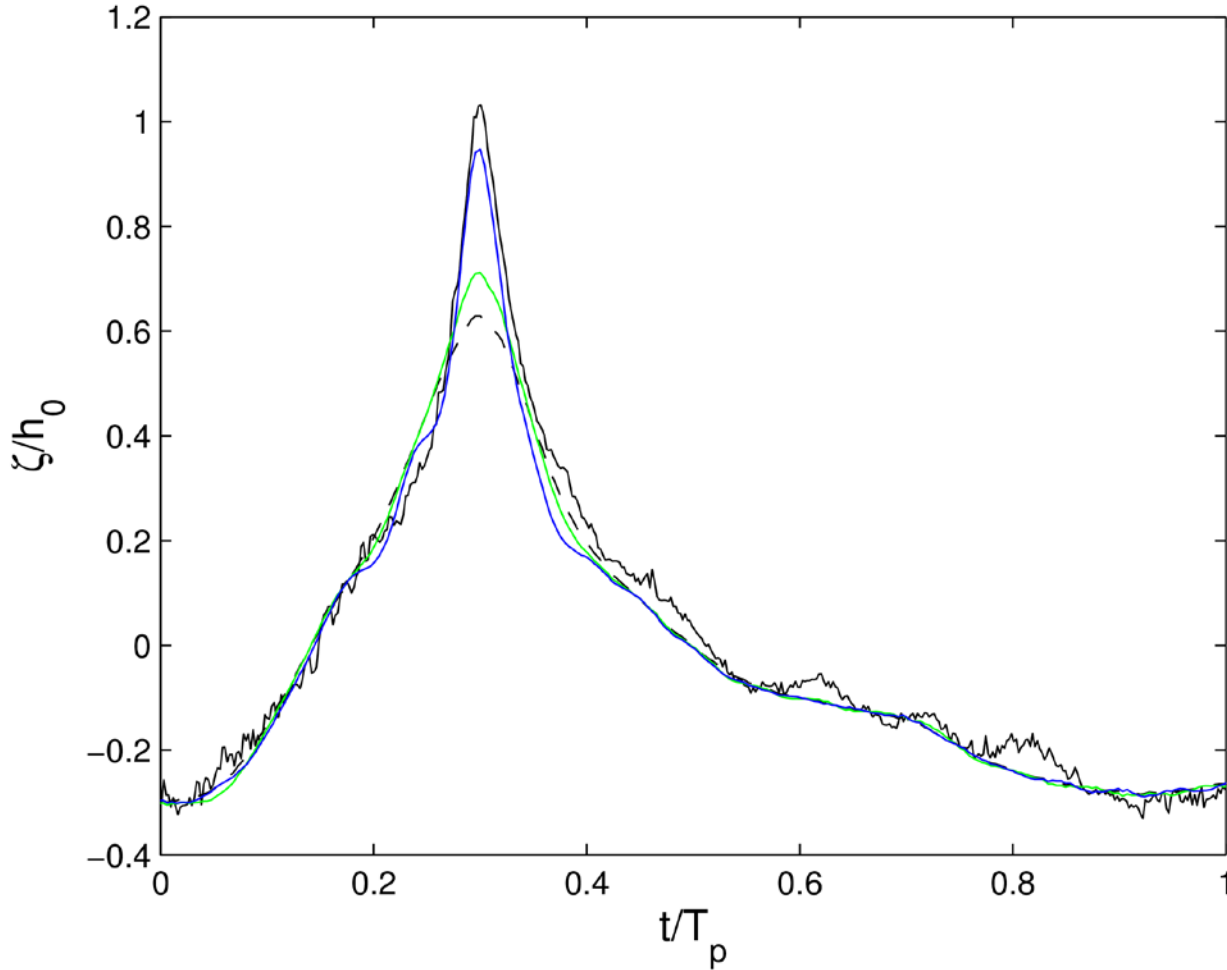


onde solitaire : $a_0/h_0=0.1$ 

onde solitaire : $a_0/h_0=0.4$ 

	ζ_H	ζ_L	ζ_{NL}
Erreur RMS	22.5%	11.4%	3.5%

Mesures lidar juste avant le déferlement. Expériences Bardex II, Martins et al. 2017.



$$S_k = \frac{\langle (\zeta - \langle \zeta \rangle)^3 \rangle}{\langle (\zeta - \langle \zeta \rangle)^2 \rangle^{3/2}}$$

	ζ_H	ζ_L	ζ_{NL}
Erreur S_k	32.2%	22.5%	0.7%

FIGURE 3: Surface elevation reconstruction of monochromatic waves. Zoom over one period of A7-mono test obtained during BARDEXII, $h_0 = 1.17$ m, $T_p = 12.1$ s and $\delta_m = 0.33$ m. Dimensionless cut-off frequency $T_p f_c = 20$. black line : direct LiDAR measurement of ζ ; dashed black line : hydrostatic reconstruction ζ_H , Eq. (11); green line : ζ_{SL} , Eq. (12); blue line : ζ_{SNL} , Eq. (13).

Campagne de mesures au Wharf de la Salie, 13-14 avril 2017



mesures acoustiques et système vidéo

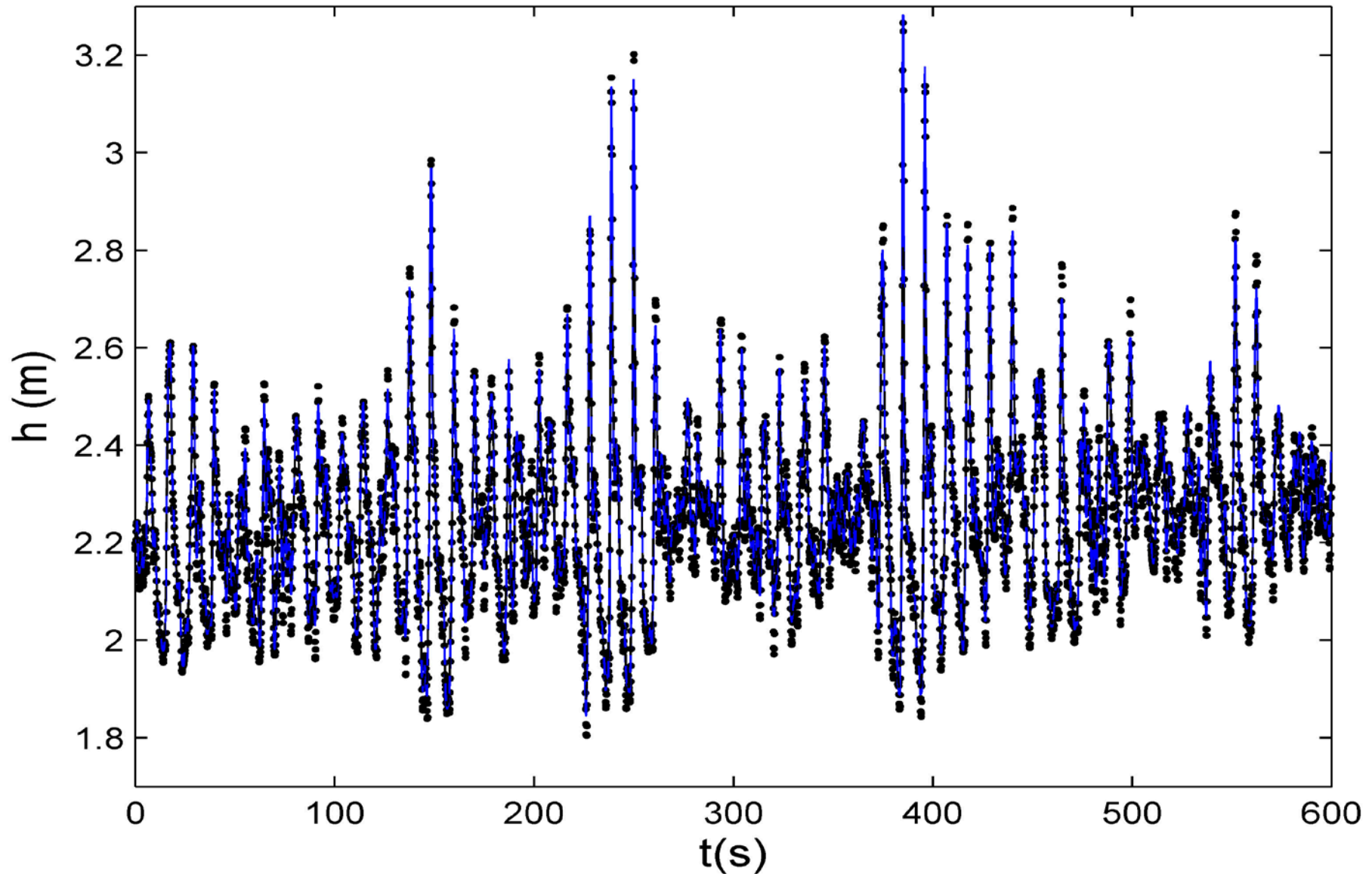


FIGURE 6: Reconstruction of water depth time series of waves observed in the field. Cut-off frequency $f_c = 1$ Hz, $\bar{h} = 2.25$ m, $\delta_m = 0.69$ m. dot : direct acoustic measurement of h ; blue line : $h_{\text{SNL}} = \bar{h} + \zeta_{\text{SNL}}$, Eq. (13).

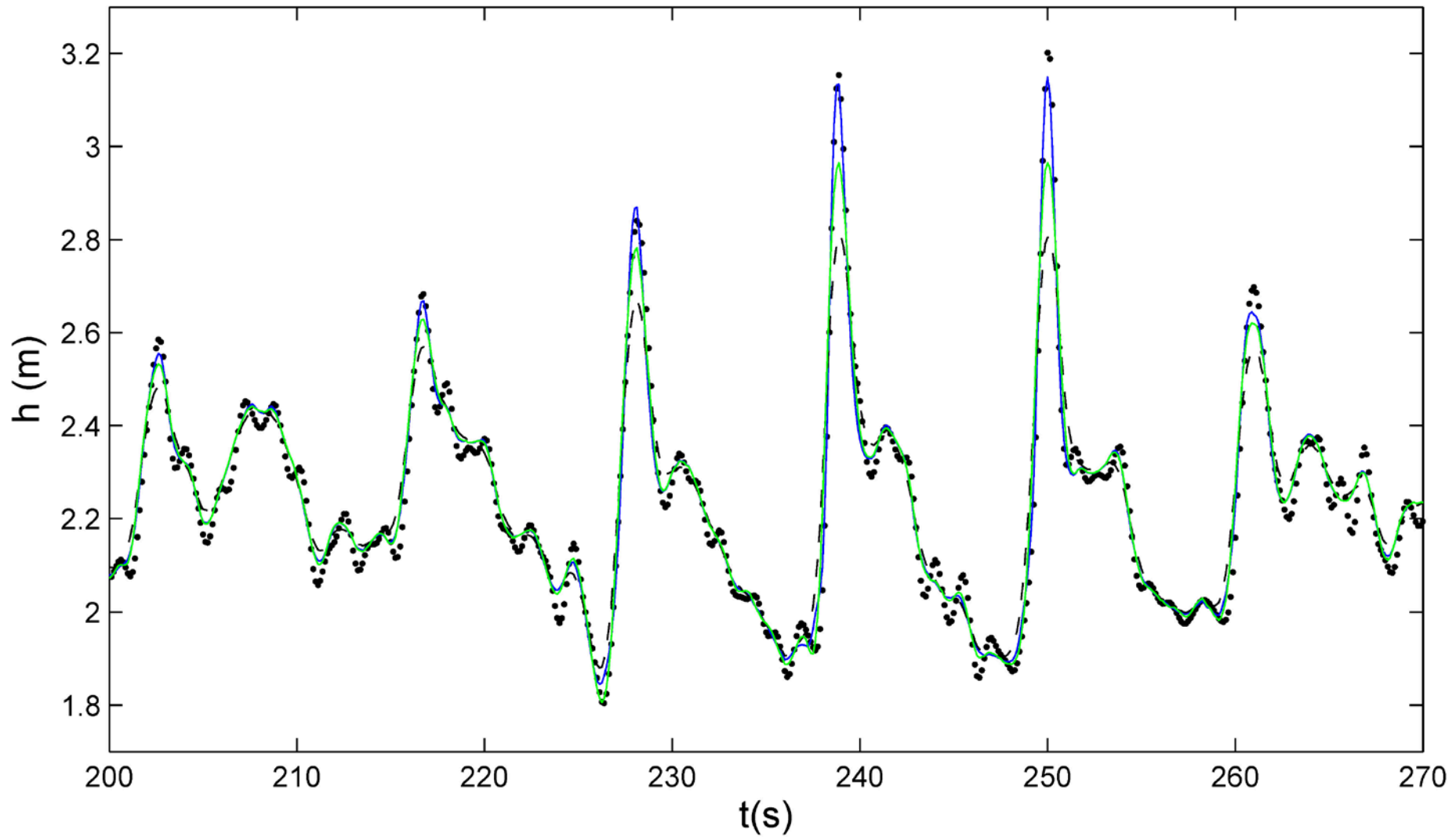


FIGURE 7: Reconstruction of water depth time series of a group of waves observed in the field. Cut-off frequency $f_c = 1$ Hz, $\bar{h} = 2.25$ m, $\delta_m = 0.69$ m. dot : direct acoustic measurement of h ; green line : $h_{SL} = \bar{h} + \zeta_{SL}$, Eq. (12); blue line : $h_{SNL} = \bar{h} + \zeta_{SNL}$, Eq. (13).

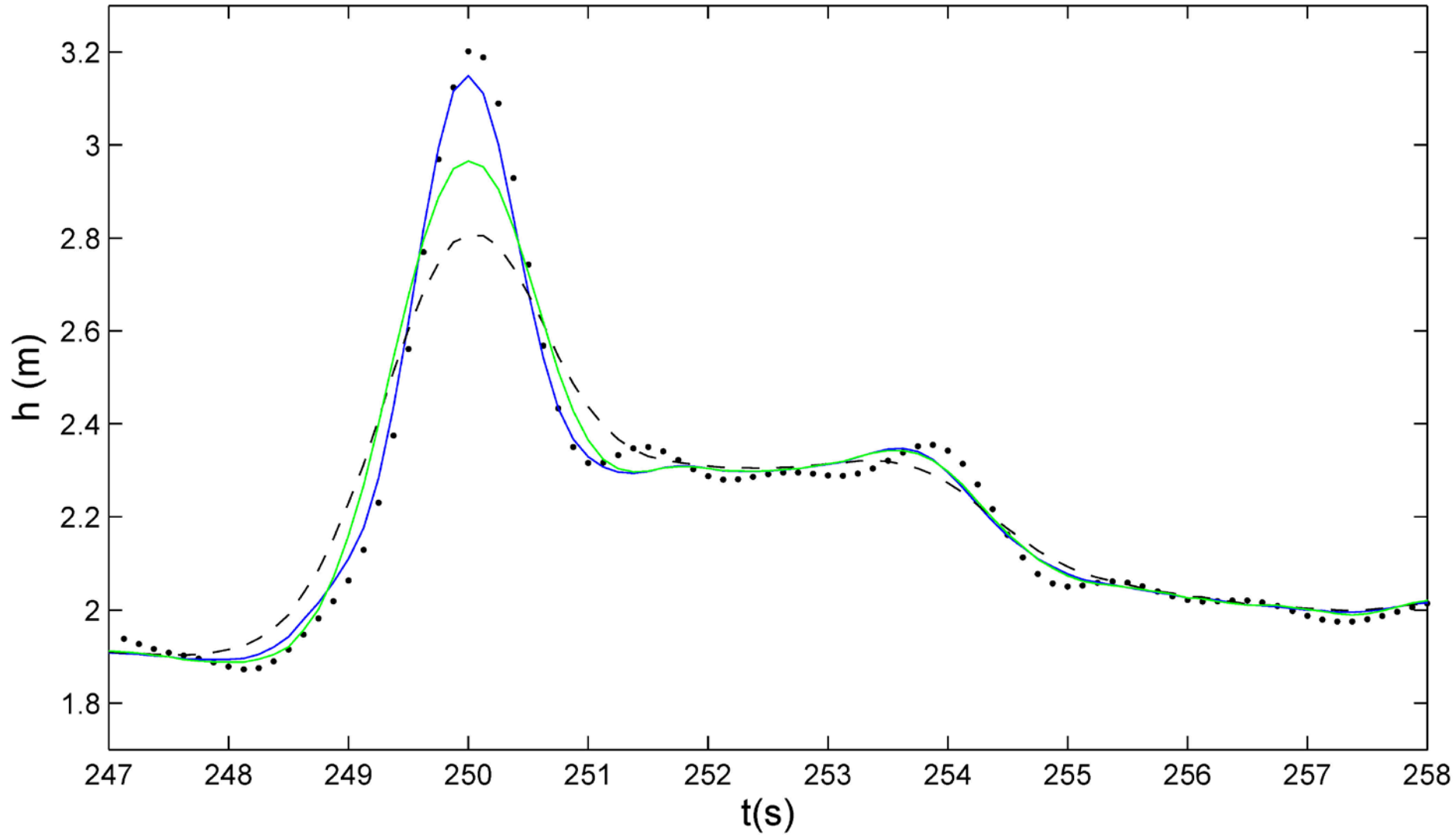


FIGURE 8: Reconstruction of the highest wave observed in a wave group. Cut-off frequency $f_c = 1$ Hz, $\bar{h} = 2.25$ m, $\delta_m = 0.69$ m. dot : direct acoustic measurement of h ; dashed black line : hydrostatic reconstruction ζ_H , Eq. (11); green line : $h_{SL} = \bar{h} + \zeta_{SL}$, Eq. (12); blue line : $h_{SNL} = \bar{h} + \zeta_{SNL}$, Eq. (13).

$$\zeta_{SNL} = \zeta_{SL} - \frac{1}{g} \partial_t (\zeta_{SL} \partial_t \zeta_{SL})$$

- ❑ une méthode efficace et simple à mettre en œuvre pour la reconstruction de l'élévation de vagues non-linéaires irrégulières à partir de la mesure de la pression au fond
- ❑ méthode locale en temps, pas besoin de transformée de Fourier, ni de fréquence de coupure
- ❑ bonne estimation des valeurs max de ζ et de l'asymétrie des vagues non-linéaires
- ❑ généralisation :
effet d'un courant moyen ; pression mesurée au-dessus du fond

Revisiter la dynamique des vagues extrêmes

- Analyse de la densité de probabilité des vagues et modèle probabiliste de vague
- Méthode de reconstruction non-linéaire basée sur des mesures PUV
- Validation et amélioration des modèles de type Serre/Green Naghdi
→ code communautaire UHAINA (EPOC, IMB, INRIA, IMAG)

Projet « vagues extrêmes » 2018-2021

Région Nouvelle Aquitaine et SHOM

Thank you for your attention

$$\zeta_{NL} = \zeta_L - \frac{1}{g} \partial_t (\zeta_L \partial_t \zeta_L)$$

